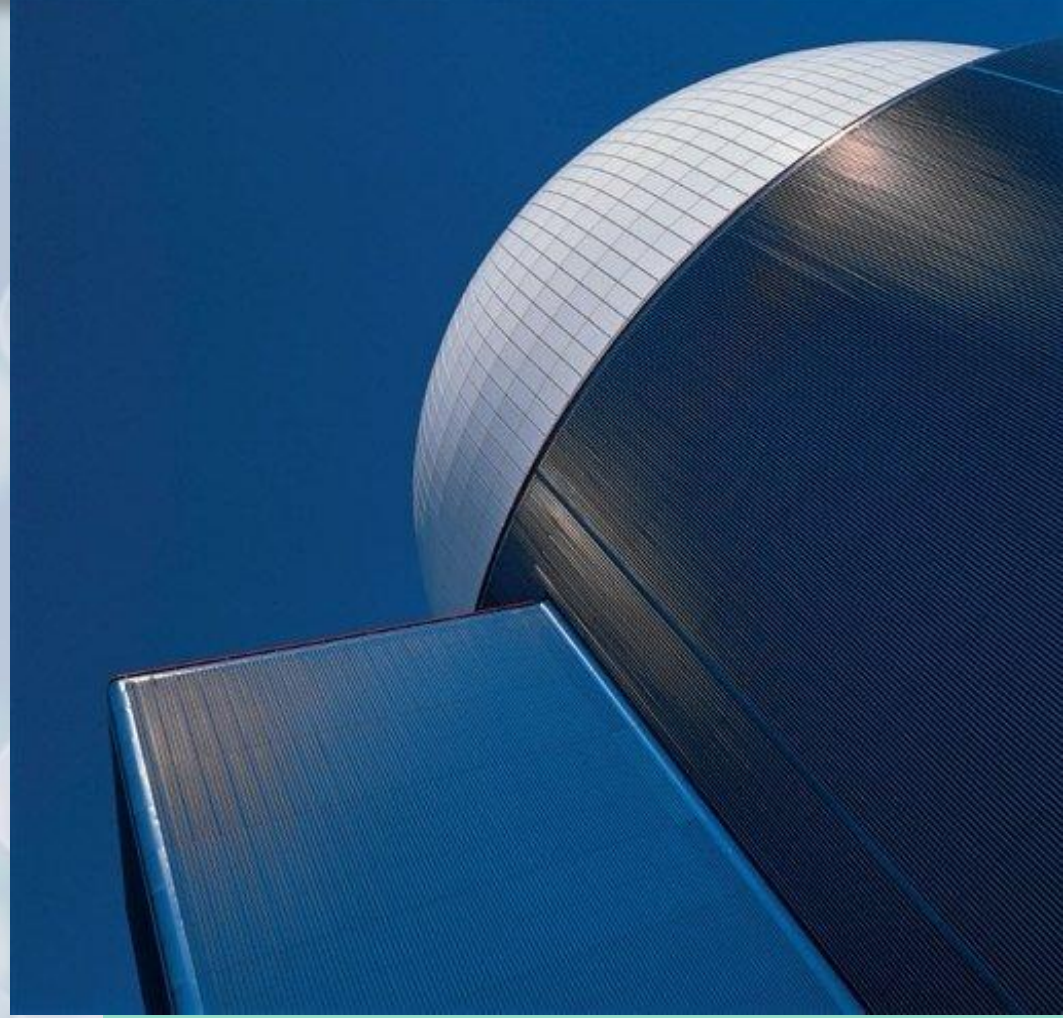
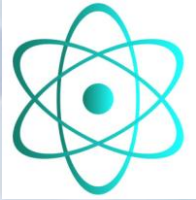
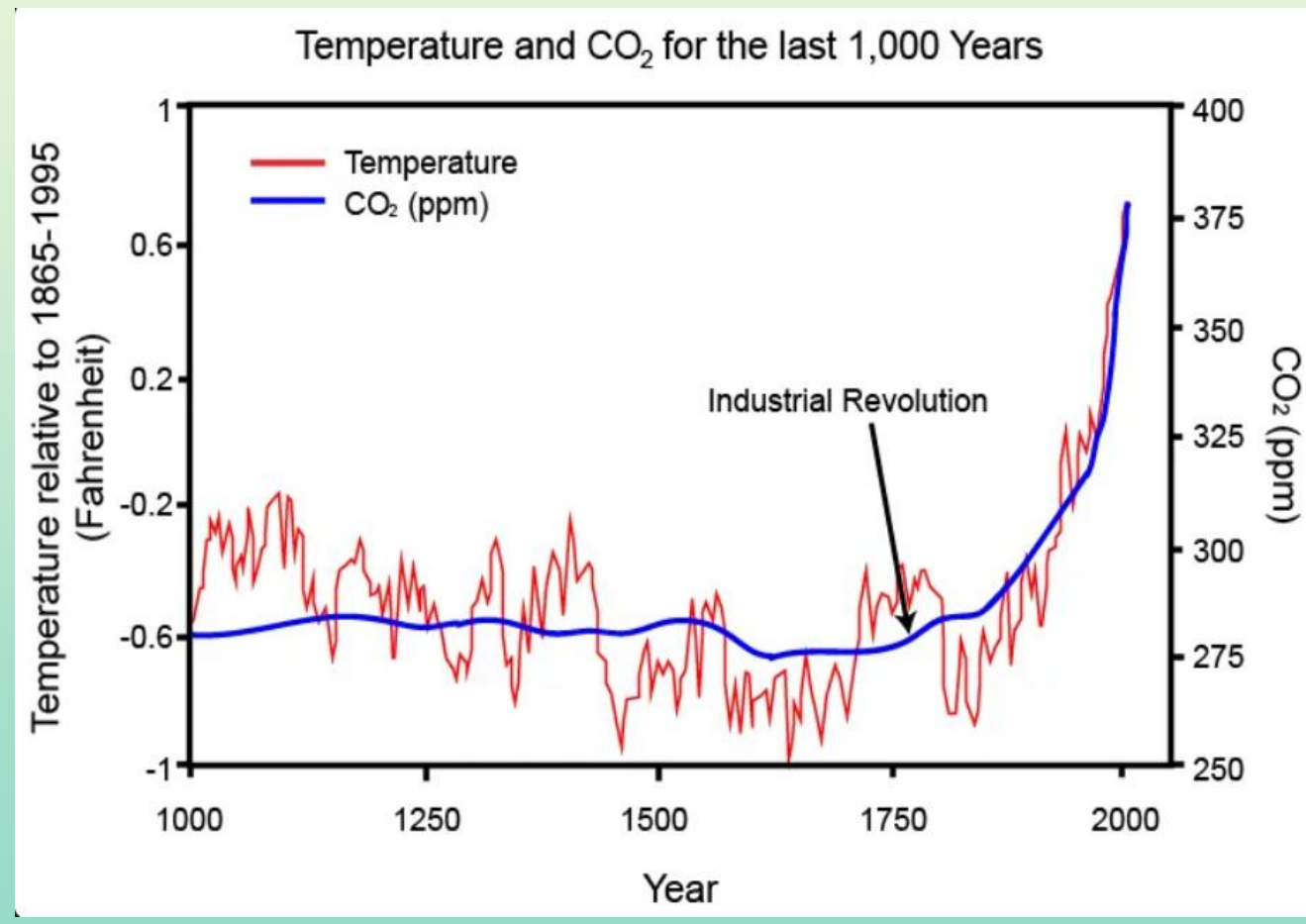
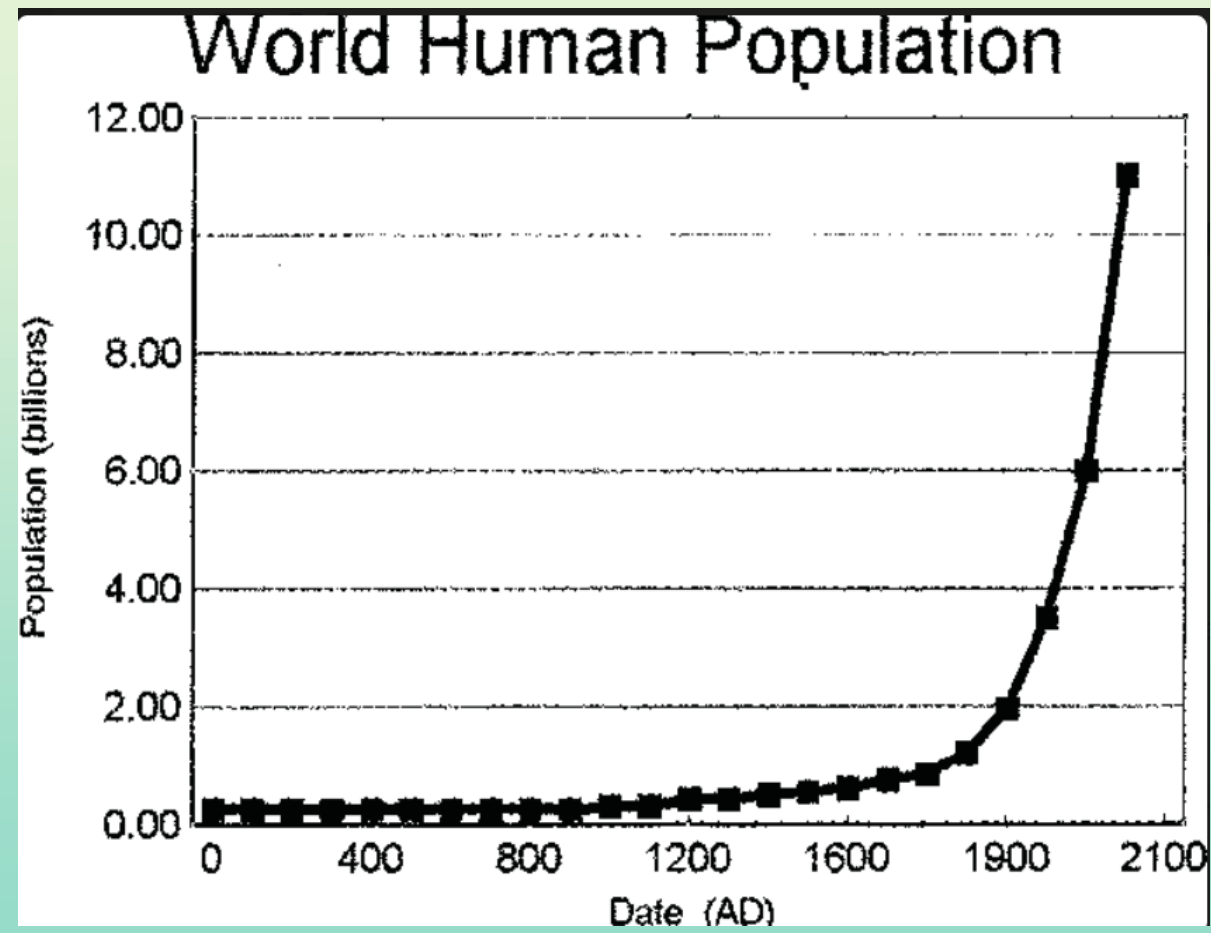


Kjernekraft – Bærekraftig energi i uoverskuelig tid

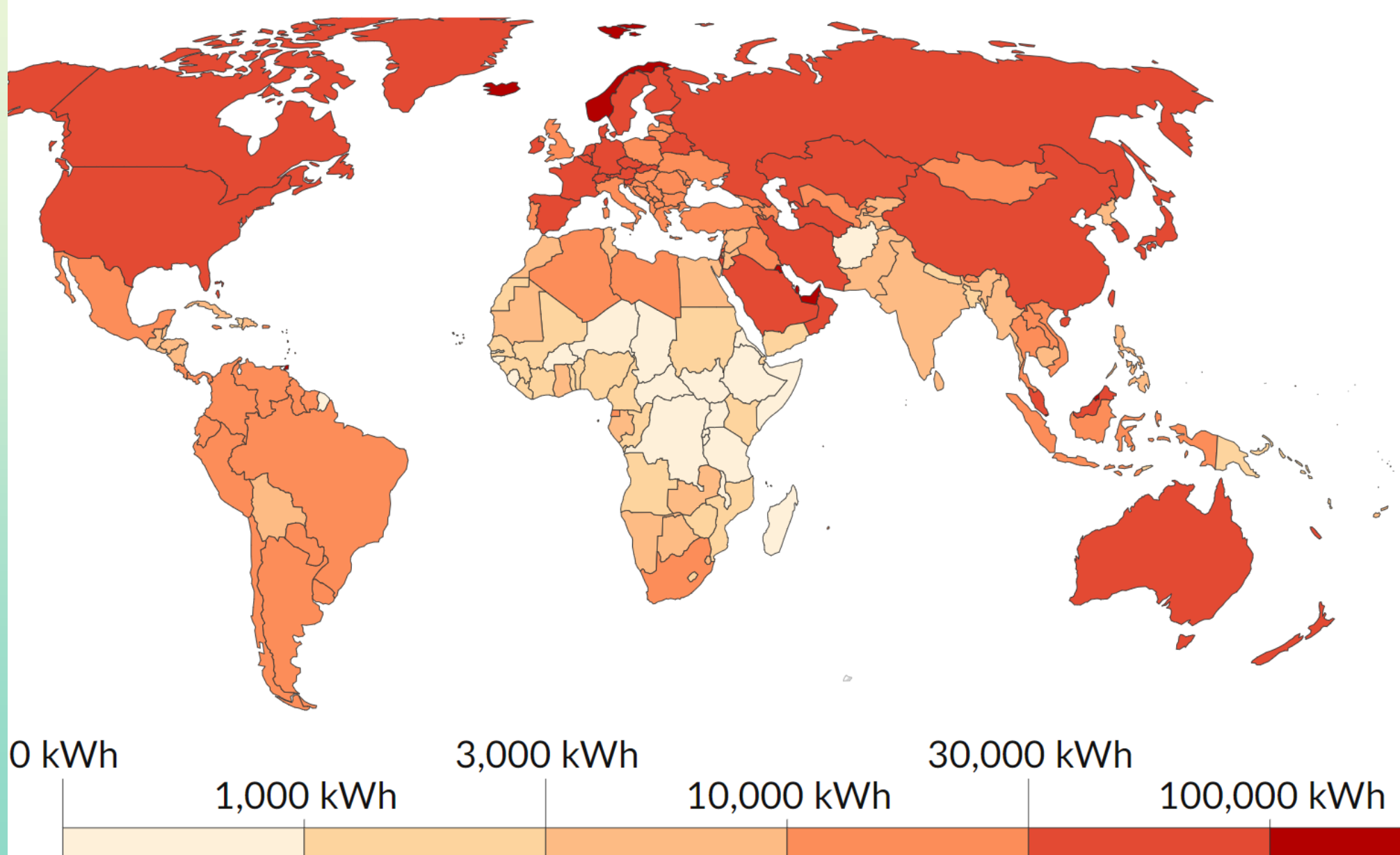


- **Litt vitenskapshistorie / tidspespektiv**
- **Dagens kjernekraftreaktorer.**
- **Hva kan være brensel i en atomreaktor?**
- **Nye typer reaktorer**
- **Verdens resurser i et tidsperspektiv**

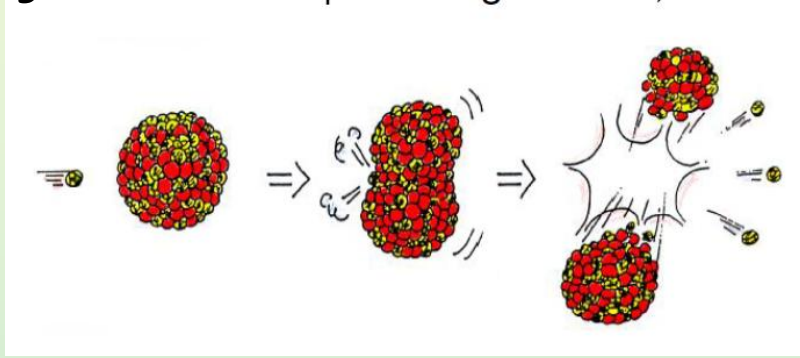
Befolkning / Forurensning / Klima



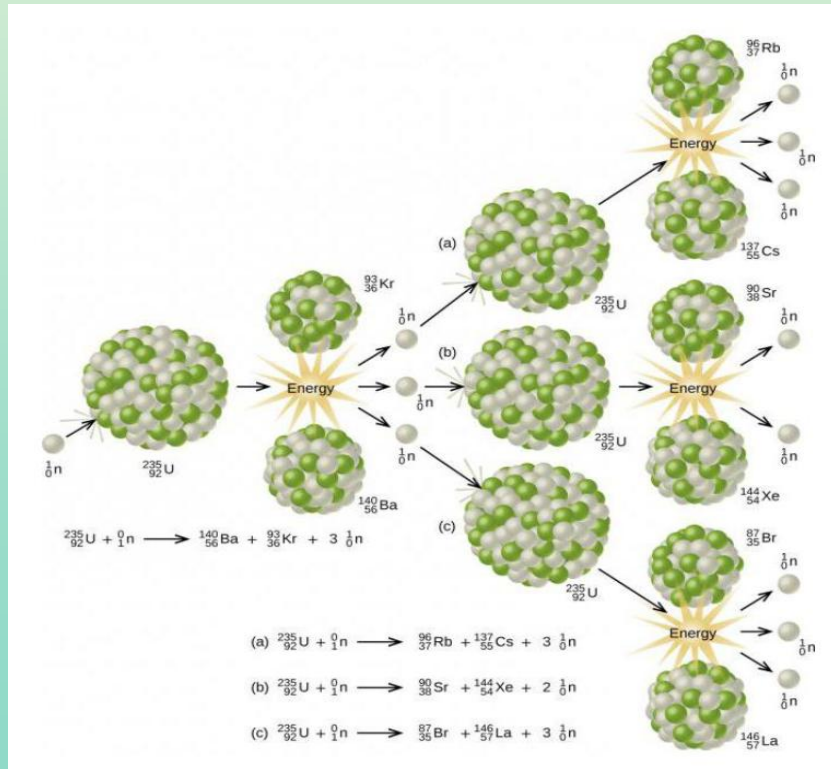
Energiforbruk per person



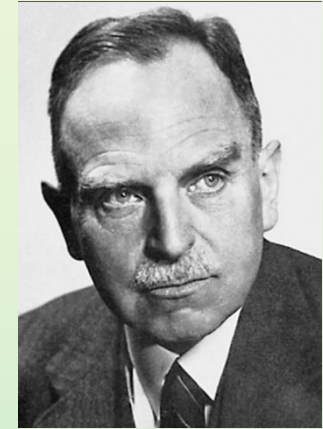
1938 : Fisjon



1933/1942 : Kjedereaksjon



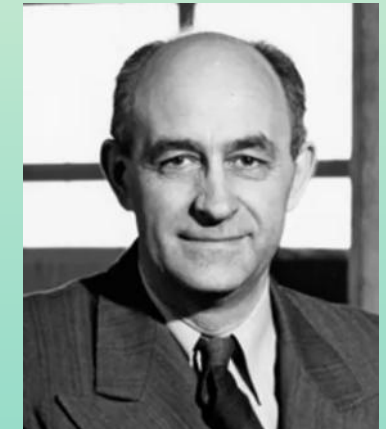
Lise Meitner
(1878 - 1968)



Otto Hahn
(1879 - 1968)

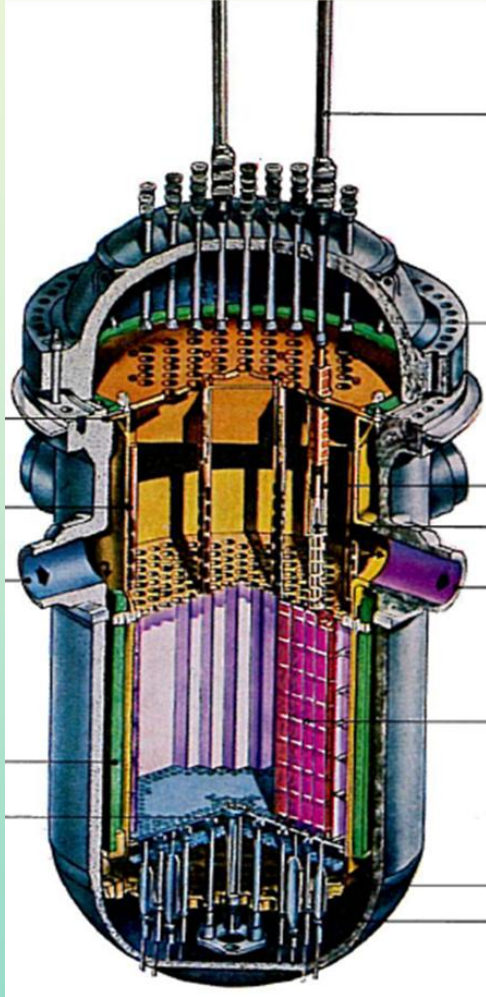


Leó Szilárd
(1898 - 1964)

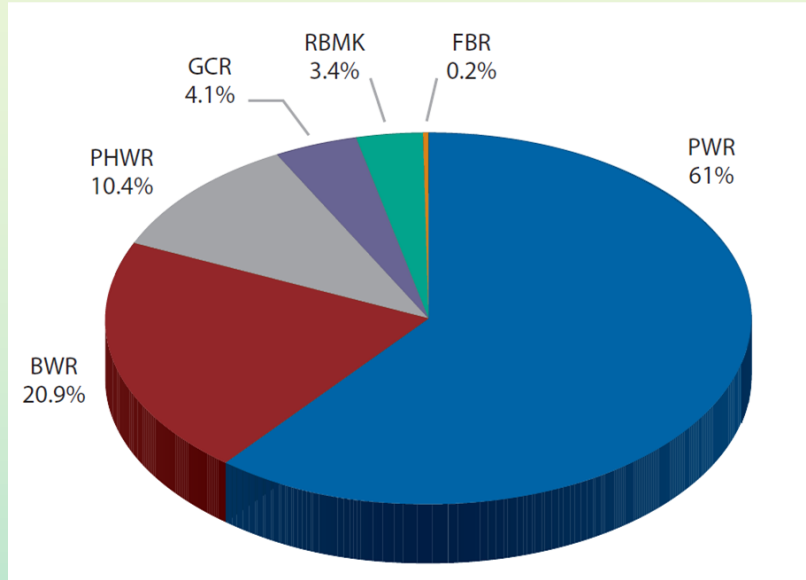


Enrico Fermi
(1901 - 1954)

PWR

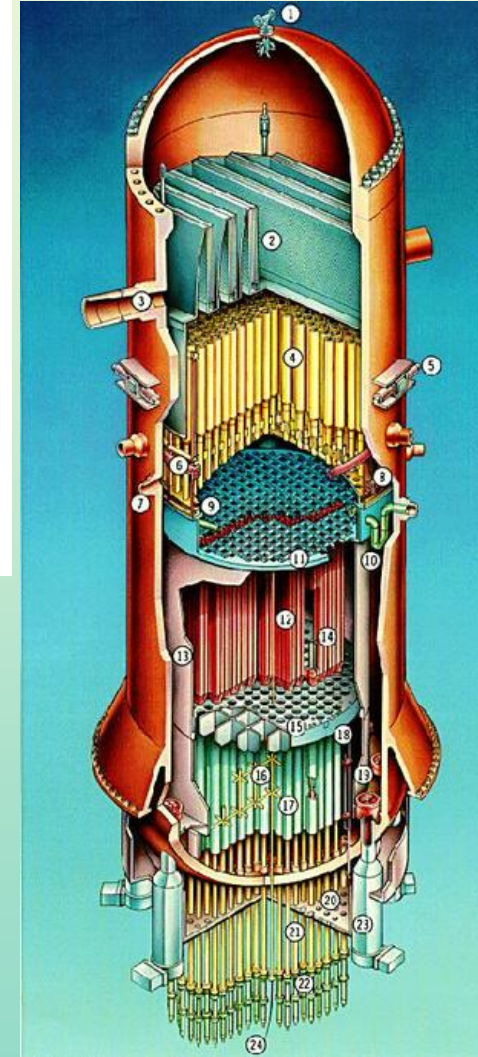


80-100
tonn brensel



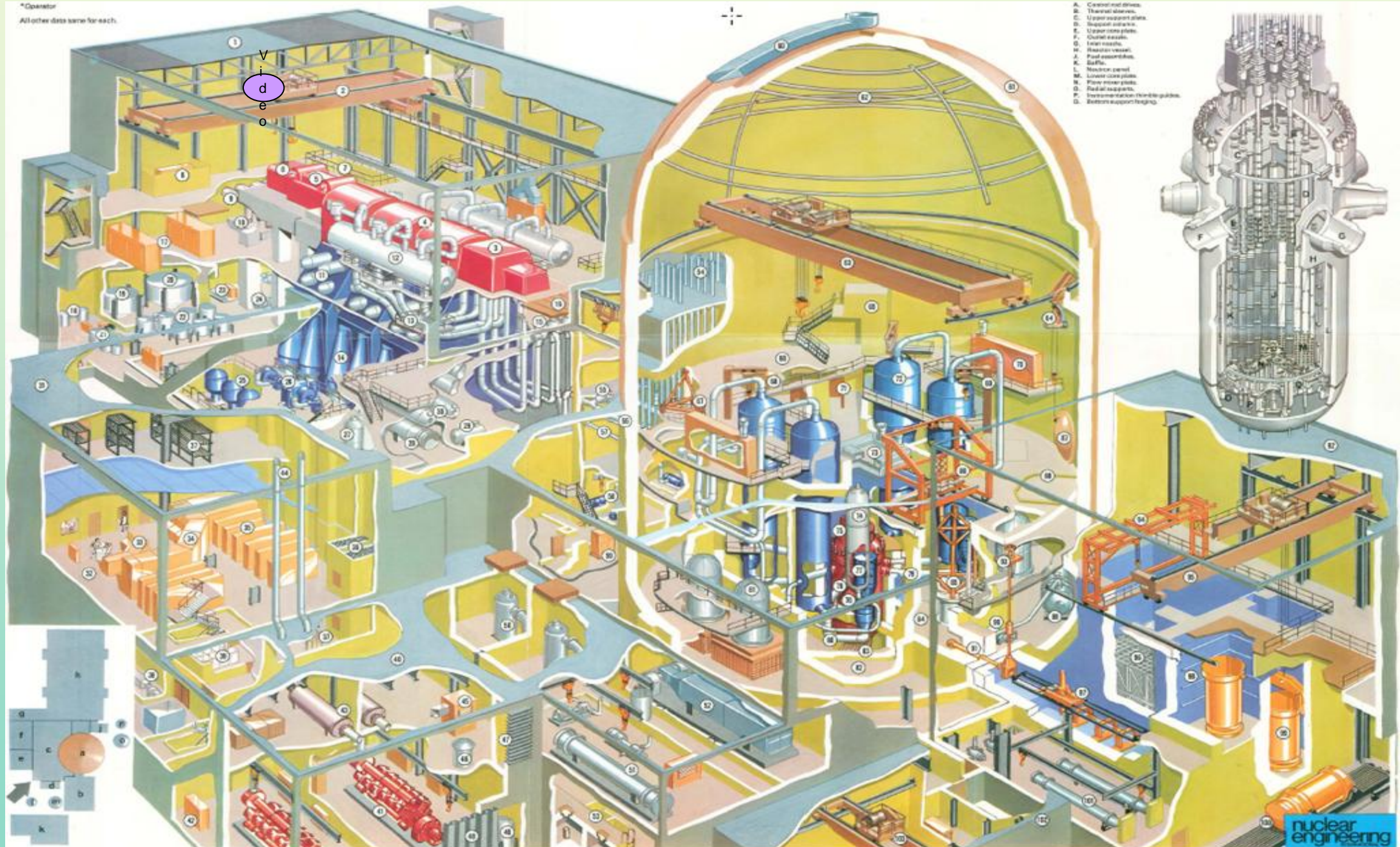
- Boiling water reactors (BWR)
- Pressurised heavy water reactors (PHWR)
- Gas-cooled reactors (GCR)
- Reaktor Bolshoi Moshchnosti Kanalnye (RBMK)
- Fast breeder reactors (FBR)

BWR



120-140
tonn brensel

Wolf Creek Generating Station - 3000 MWt ~1000 MWe



Naturlig uran

0,7% U-235
99,3% U-238

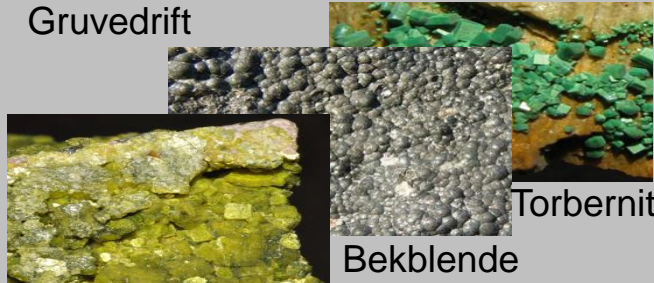
Fremstilling av uranbrensel

Uran i reaktorbrensel

4,5% U-235
95,5% U-238



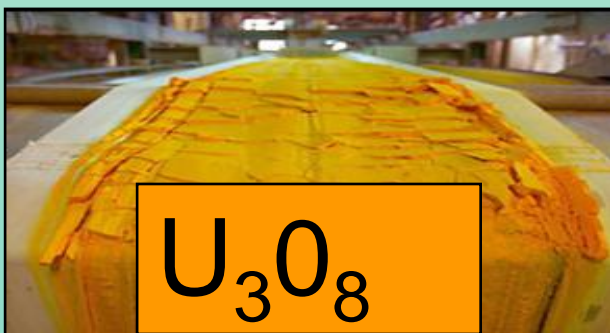
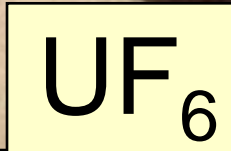
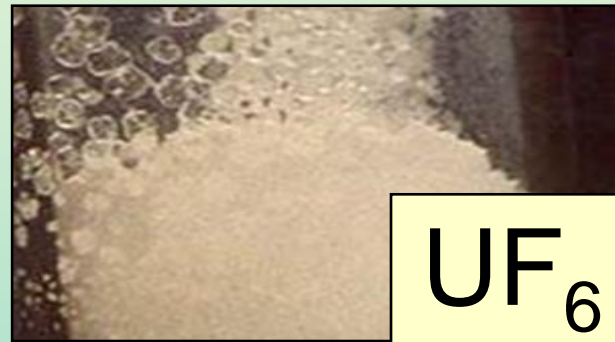
Gruvedrift



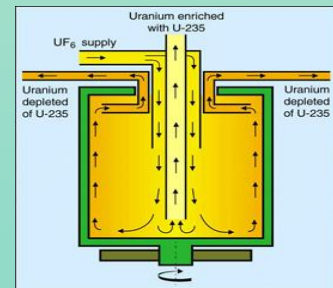
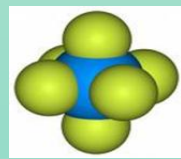
Autunite

Bekblende

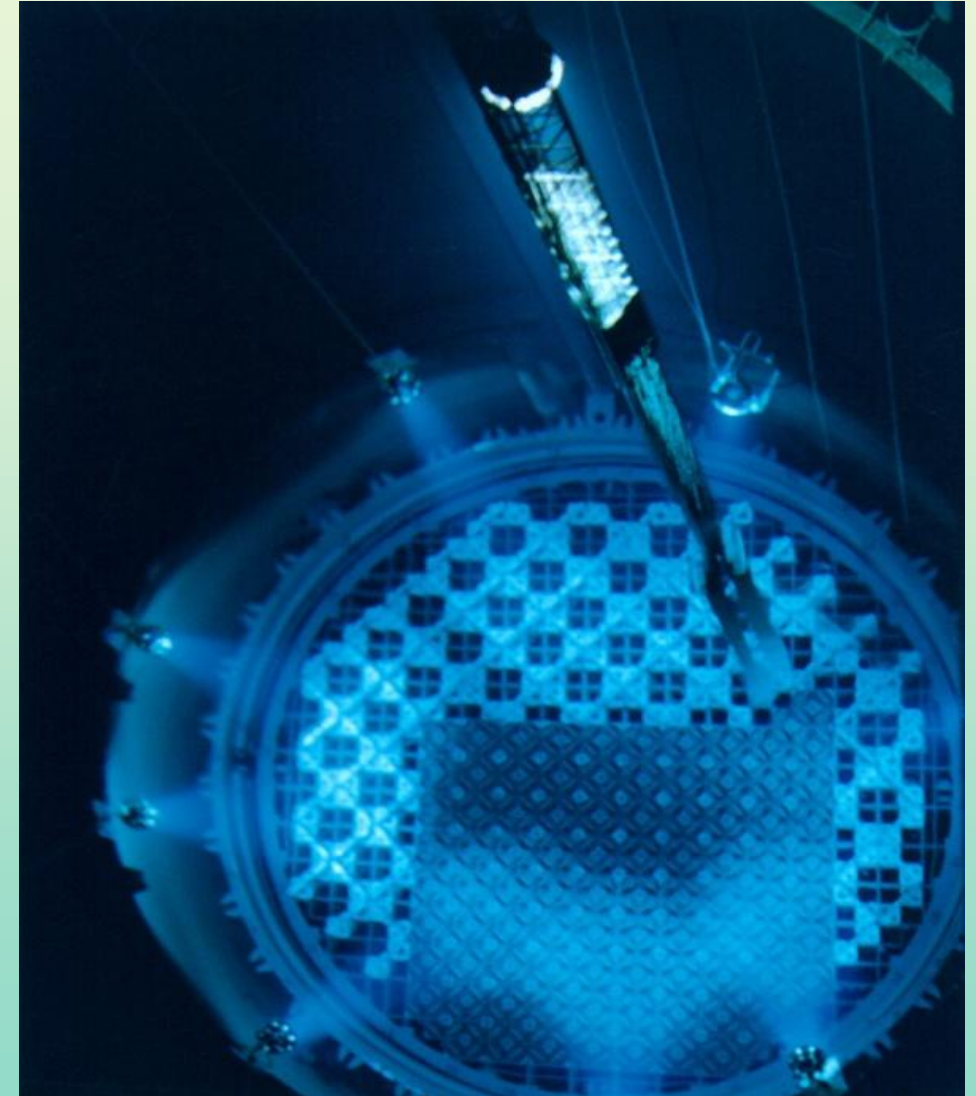
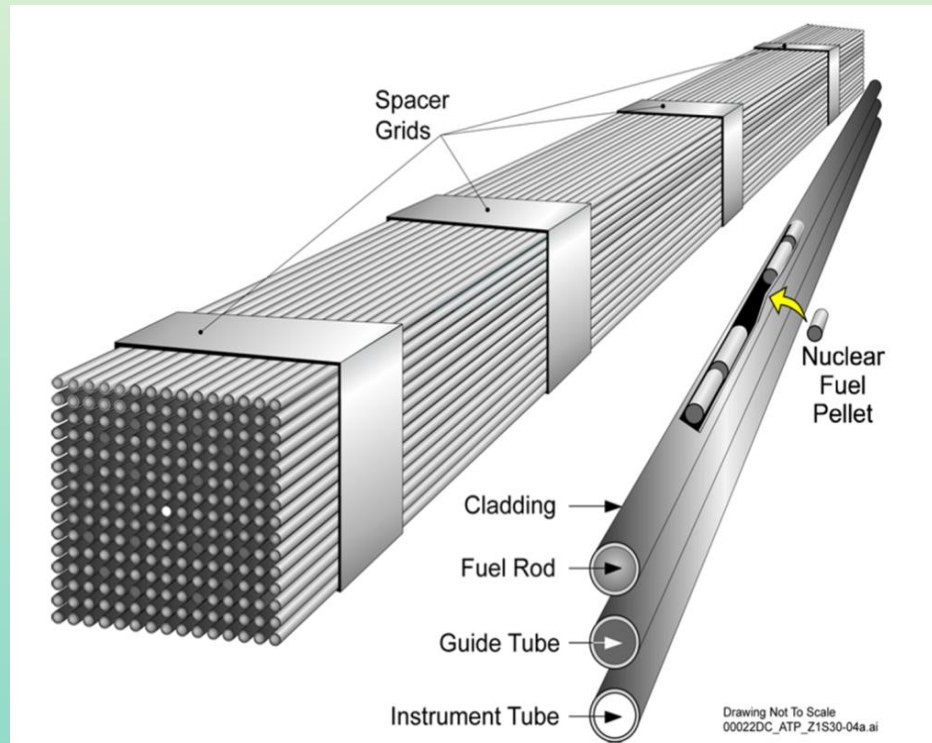
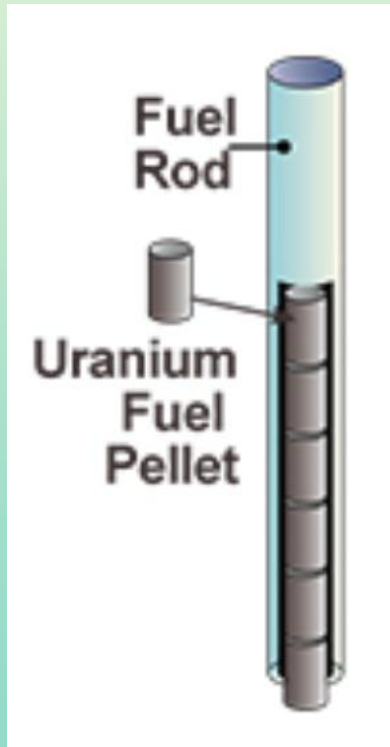
Torbernite



Anrikning med sentrifuger



Reaktorbrensel



KULL

7,5 tonn



OLJE

34 fat á 200 liter
(5,5 tonn)



VED

16 favner
(13 tonn)



URAN

60 gram



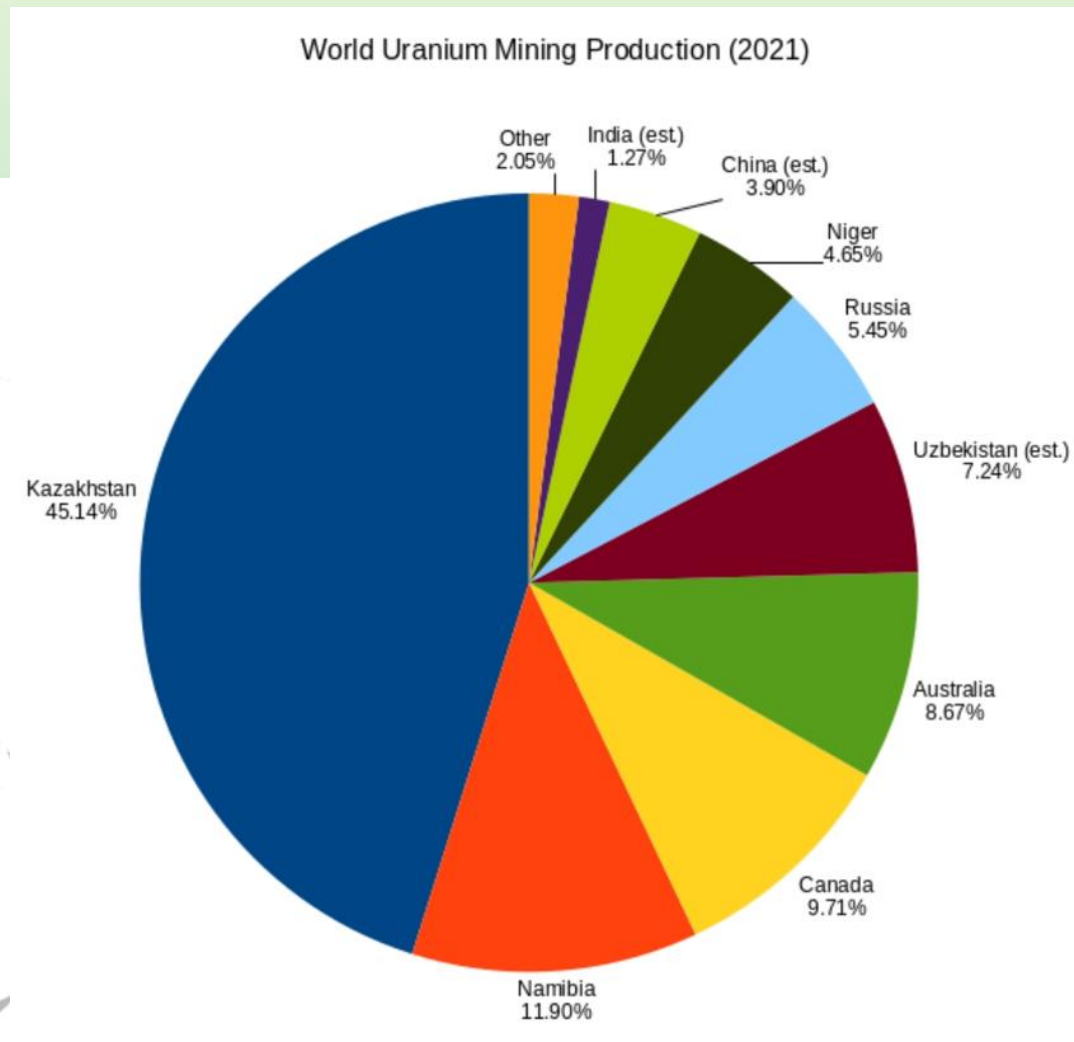
**FORBRUK AV ELEKTRISK ENERGI
TIL EN BOLIG I ET ÅR
24 000 kWh**



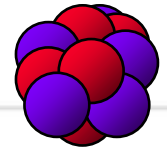
Verdens kjente landbaserte uranforekomster : ca 8 000 000 tonn

Årlig forbruk : ca 65 000 tonn (440 reaktorer)

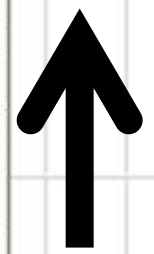
Med dagens forbruk varer dette i **ca 120 år**



Nuklidekart



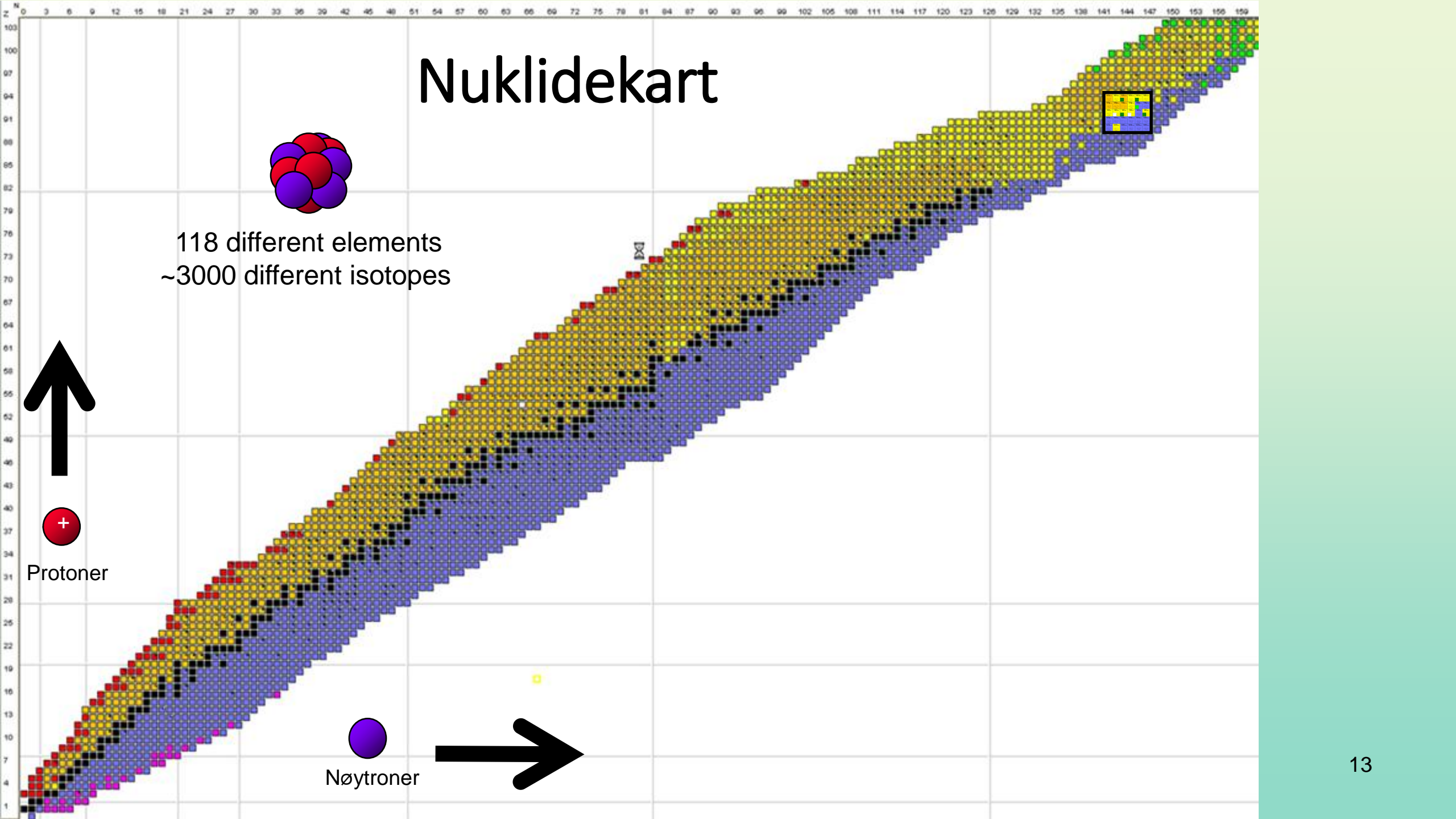
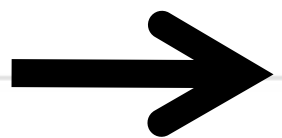
118 different elements
~3000 different isotopes



Protoner

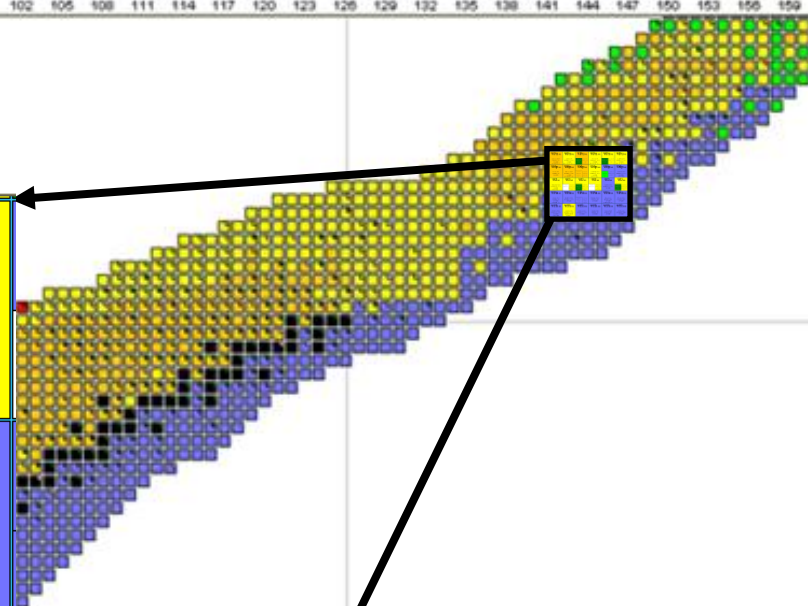


Nøytroner



Nuklidekart

<p>²³⁵₉₄Pu₁₄₁</p> <p>25.3 m (5/2+) $\Delta=42184$ (2.1) $\beta\sim 100\%$ $\alpha=0.0028\%$ (7)</p>	<p>²³⁶₉₄Pu₁₄₂</p> <p>2.858 y 0+ $\Delta=42902.7$ (2.2) $\alpha=100\%$ $SF=1.36e-7\%$ (4)...</p>	<p>²³⁷₉₄Pu₁₄₃</p> <p>180 ms 1/2+ 45.2 d 7/2+ $E_{ex}=145.544$ $\Delta=45093.3$ (2.2) $IT=100\%$ $\epsilon\sim 100\%$ $\alpha=0.0042\%$ (4)</p>	<p>²³⁸₉₄Pu₁₄₄</p> <p>87.7 y 0+ $\Delta=46164.7$ (1.8) $\alpha=100\%$ $SF=1.9e-7\%$ (1)...</p>	<p>²³⁹₉₄Pu₁₄₅</p> <p>193 ns 7/2- 24.11 ky 1/2+ $E_{ex}=391.584$ $\Delta=48589.9$ (1.8) $IT=100\%$ $\alpha=100\%$ $SF=3.1e-10\%$ (6)</p>	<p>²⁴⁰₉₄Pu₁₄₆</p> <p>6.564 ky 0+ $\Delta=50127.0$ (1.8) $\alpha=100\%$ $SF=5.7e-6\%$ (2)...</p>
<p>²³⁴₉₃Np₁₄₁</p> <p>4.4 d (0+) $\Delta=39956$ (9) $\beta\sim 100\%$</p>	<p>²³⁵₉₃Np₁₄₂</p> <p>396.1 d 5/2+ $\Delta=41044.7$ (2.0) $\epsilon\sim 100\%$ $\alpha=0.00260\%$ (13)</p>	<p>²³⁶₉₃Np₁₄₃</p> <p>22.5 h 1- 154 ky (6-) $E_{ex}=60$ (50) $\Delta=43380$ (50) $\epsilon=52\%$ (1) $\epsilon=87.3\%$ (5) $\beta=48\%$ (1) $\beta=12.5\%$ (5)...</p>	<p>²³⁷₉₃Np₁₄₄</p> <p>2.144 My 5/2+ $\Delta=44873.3$ (1.8) $\alpha=100\%$ $SF<2e-10\%$...</p>	<p>²³⁸₉₃Np₁₄₅</p> <p>112 ns 2.117 d 2+ $E_{ex}=2300\#$ $\Delta=47456.3$ (1.8) $SF=100\%$ $\beta\sim 100\%$ $IT?$</p>	<p>²³⁹₉₃Np₁₄₆</p> <p>2.356 d 5/2+ $\Delta=49312.4$ (2.1) $\beta\sim 100\%$ $\alpha=5e-10\%$</p>
<p>²³³₉₂U₁₄₁</p> <p>159.2 ky 5/2+ $\Delta=36920.0$ (2.7) $\alpha=100\%$ $SF>6e-9\%$...</p>	<p>²³⁴₉₂U₁₄₂</p> <p>33.5 μs 6- 245.5 ky 0+ $E_{ex}=1421.32$ $\Delta=38146.6$ (1.8) $Abndnc=0.0055\%$ (2) $\alpha=100\%$...</p>	<p>²³⁵₉₂U₁₄₃</p> <p>~26 m 1/2+ 704 My 7/2- $E_{ex}=0.0765$ $\Delta=40920.5$ (1.8) $IT=100\%$ $Abndnc=0.7200\%$ (5) $\alpha=100\%$...</p>	<p>²³⁶₉₂U₁₄₄</p> <p>115 ns 0+ 23.42 My 0+ $E_{ex}=2750$ (10) $\Delta=42446.3$ (1.8) $\alpha=100\%$ $SF=9.6e-8\%$ (6)</p>	<p>²³⁷₉₂U₁₄₅</p> <p>6.75 d 1/2+ $\Delta=45391.9$ (1.9) $\beta\sim 100\%$</p>	<p>²³⁸₉₂U₁₄₆</p> <p>280 ns 0+ 4.468 Gy 0+ $E_{ex}=2557.9$ $\Delta=47308.9$ (1.9) $IT=?$ $Abndnc=99.2745\%$ (11) $SF=2.6\%$ (4)...</p>
<p>²³²₉₁Pa₁₄₁</p> <p>1.31 d (2-) $\Delta=35948$ (8) $\beta\sim 100\%$ $\epsilon=0.003\%$ (1)</p>	<p>²³³₉₁Pa₁₄₂</p> <p>26.967 d 3/2- $\Delta=37490.1$ (2.2) $\beta\sim 100\%$</p>	<p>²³⁴₉₁Pa₁₄₃</p> <p>1.17 m (0-) 6.70 h 4+ $E_{ex}=78$ (3) $\Delta=40341$ (5) $IT=0.16\%$ (4).... $SF>3e-10\%$</p>	<p>²³⁵₉₁Pa₁₄₄</p> <p>24.44 m (3/2-) $\Delta=42330$ (50) $\beta\sim 100\%$</p>	<p>²³⁶₉₁Pa₁₄₅</p> <p>9.1 m 1(-) $\Delta=45350$ (200) $\beta\sim 100\%$ $\beta-SF=6e-8\%$ (4)</p>	<p>²³⁷₉₁Pa₁₄₆</p> <p>8.7 m (1/2+) $\Delta=47640$ (100) $\beta\sim 100\%$</p>
<p>²³¹₉₀Th₁₄₁</p> <p>25.52 h 5/2+ $\Delta=33817.3$ (1.8) $\beta\sim 100\%$ $\alpha=4e-11\%$</p>	<p>²³²₉₀Th₁₄₂</p> <p>14.05 Gy 0+ $\Delta=35448.3$ (2.0) $Abndnc=100\%$ $\alpha=100\%$...</p>	<p>²³³₉₀Th₁₄₃</p> <p>22.3 m 1/2+ $\Delta=38733.2$ (2.0) $\beta\sim 100\%$</p>	<p>²³⁴₉₀Th₁₄₄</p> <p>24.10 d 0+ $\Delta=40614$ (3) $\beta\sim 100\%$</p>	<p>²³⁵₉₀Th₁₄₅</p> <p>7.2 m 1/2+# $\Delta=44260$ (50) $\beta\sim 100\%$</p>	<p>²³⁶₉₀Th₁₄₆</p> <p>37.5 m 0+ $\Delta=46450\#$ (200#) $\beta\sim 100\%$</p>



Nøytroner

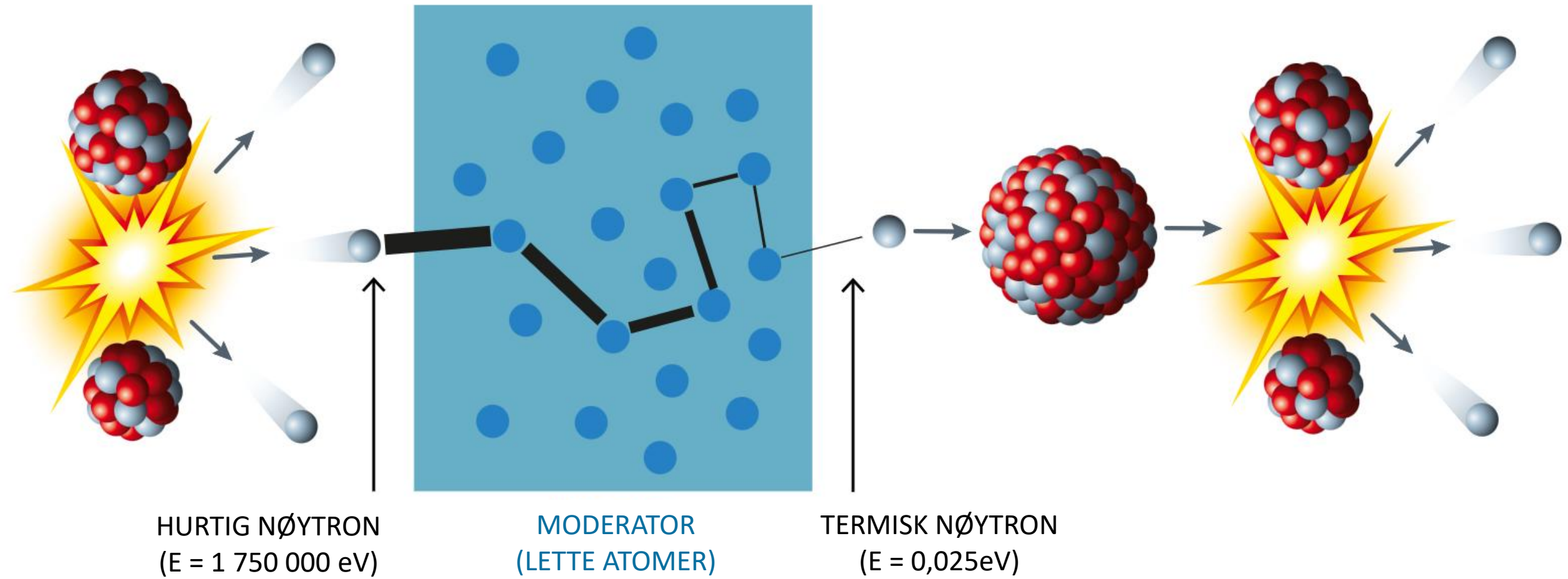
Nuklidekart

<p>²³⁵₉₄Pu₁₄₁</p> <p>25.3 m (5/2+) Δ=42184 (2.1) β~100% α=0.0028% (7)</p>	<p>²³⁶₉₄Pu₁₄₂</p> <p>2.858 y 0+ Δ=42902.7 (2.2) α=100% SF=1.36e-7% (4)...</p>	<p>²³⁷₉₄Pu₁₄₃</p> <p>180 ms 1/2+ Exx=145.544 IT=100%</p> <p>45.2 d 7/2- Δ=45093.3 (2.2) ε~100% α=0.0042% (4)</p>	<p>²³⁸₉₄Pu₁₄₄</p> <p>87.7 y 0- Δ=46164.7 (1.8) α=100% SF=1.9e-7% (1)...</p>	<p>²³⁹₉₄Pu₁₄₅</p> <p>193 ns 7/2- Exx=391.584 IT=100%</p> <p>24.11 ky 1/2+ Δ=48589.9 (1.8) α=100% SF=3.1e-10% (6)</p>	<p>²⁴⁰₉₄Pu₁₄₆</p> <p>6.564 ky 0+ Δ=50127.0 (1.8) α=100% SF=5.7e-6% (2)...</p>
<p>²³⁴₉₃Np₁₄₁</p> <p>4.4 d (0+) Δ=39956 (9) β~100%</p>	<p>²³⁵₉₃Np₁₄₂</p> <p>396.1 d 5/2+ Δ=41044.7 (2.0) ε~100% α=0.00260% (13)</p>	<p>²³⁶₉₃Np₁₄₃</p> <p>22.5 h 1- Exx=60 (50) IT=48% (1)</p> <p>154 ky (6-) Δ=43380 (50) β=12.5% (5)</p>	<p>²³⁷₉₃Np₁₄₄</p> <p>2.144 My 5/2+ Δ=44873.3 (1.8) α=100% SF<2e-10%...</p>	<p>²³⁸₉₃Np₁₄₅</p> <p>112 ns Exx=2300# IT?</p> <p>2.117 d 2+ Δ=47456.3 (1.8) β~100%</p>	<p>²³⁹₉₃Np₁₄₆</p> <p>2.356 d 5/2+ Δ=49312.4 (2.1) β~100% α=5e-10#%</p>
<p>²³³₉₂U₁₄₁</p> <p>159.2 ky 5/2+ Δ=36920.0 (2.7) α=100% SF>6e-9%...</p>	<p>²³⁴₉₂U₁₄₂</p> <p>33.5 ms 6- Exx=421.32 Abndnc=100% (1)</p> <p>2.45 ky 0+ Δ=38888.8 (1.8) IT=55% (2)</p>	<p>²³⁵₉₂U₁₄₃</p> <p>~26 m 1/2+ Exx=0.0765 IT=100%</p> <p>704 My 7/2- Δ=40920.5 (1.8) Abndnc=0.7200% (5) α=100%...</p>	<p>²³⁶₉₂U₁₄₄</p> <p>118 ms Exx=57 (10) SF=9.6e-8% (6)</p> <p>23.42 My 0+ Δ=42446.3 (1.8) α=100%</p>	<p>²³⁷₉₂U₁₄₅</p> <p>6.75 d 1/2+ Δ=45391.9 (1.9) β~100%</p>	<p>²³⁸₉₂U₁₄₆</p> <p>280 ns 0+ Exx=2557.9 IT=7%</p> <p>4.468 Gy 0+ Δ=47308.9 (1.9) Abndnc=99.2745% (11) α=100%...</p>
<p>²³²₉₁Pa₁₄₁</p> <p>1.31 d (2-) Δ=35948 (8) β~100% ε=0.003% (1)</p>	<p>²³³₉₁Pa₁₄₂</p> <p>26.967 d 3/2- Δ=37490.1 (2.2) β~100%</p>	<p>²³⁴₉₁Pa₁₄₃</p> <p>1.17 m (0-) Exx=78 (3) β~100%</p> <p>6.70 h 4+ Δ=40341 (5) β~100% SF>3e-10%</p>	<p>²³⁵₉₁Pa₁₄₄</p> <p>24.44 m (3/2-) Δ=42330 (50) β~100%</p>	<p>²³⁶₉₁Pa₁₄₅</p> <p>9.1 m 1(-) Δ=45350 (200) β~100% β-SF=6e-8% (4)</p>	<p>²³⁷₉₁Pa₁₄₆</p> <p>8.7 m (1/2+) Δ=47640 (100) β~100%</p>
<p>²³¹₉₀Th₁₄₁</p> <p>25.52 h 5/2+ Δ=33817.3 (1.8) β~100% α=4e-11#%</p>	<p>²³²₉₀Th₁₄₂</p> <p>14.05 Gy 0+ Δ=35448.3 (2.0) Abndnc=100.% α=100%...</p>	<p>²³³₉₀Th₁₄₃</p> <p>22.3 m 1/2+ Δ=3733.2 (2.0) β~100%</p>	<p>²³⁴₉₀Th₁₄₄</p> <p>24.10 d 0+ Δ=40614 (3) β~100%</p>	<p>²³⁵₉₀Th₁₄₅</p> <p>7.2 m 1/2+# Δ=44260 (50) β~100%</p>	<p>²³⁶₉₀Th₁₄₆</p> <p>37.5 m 0+ Δ=46450# (200#) β~100%</p>

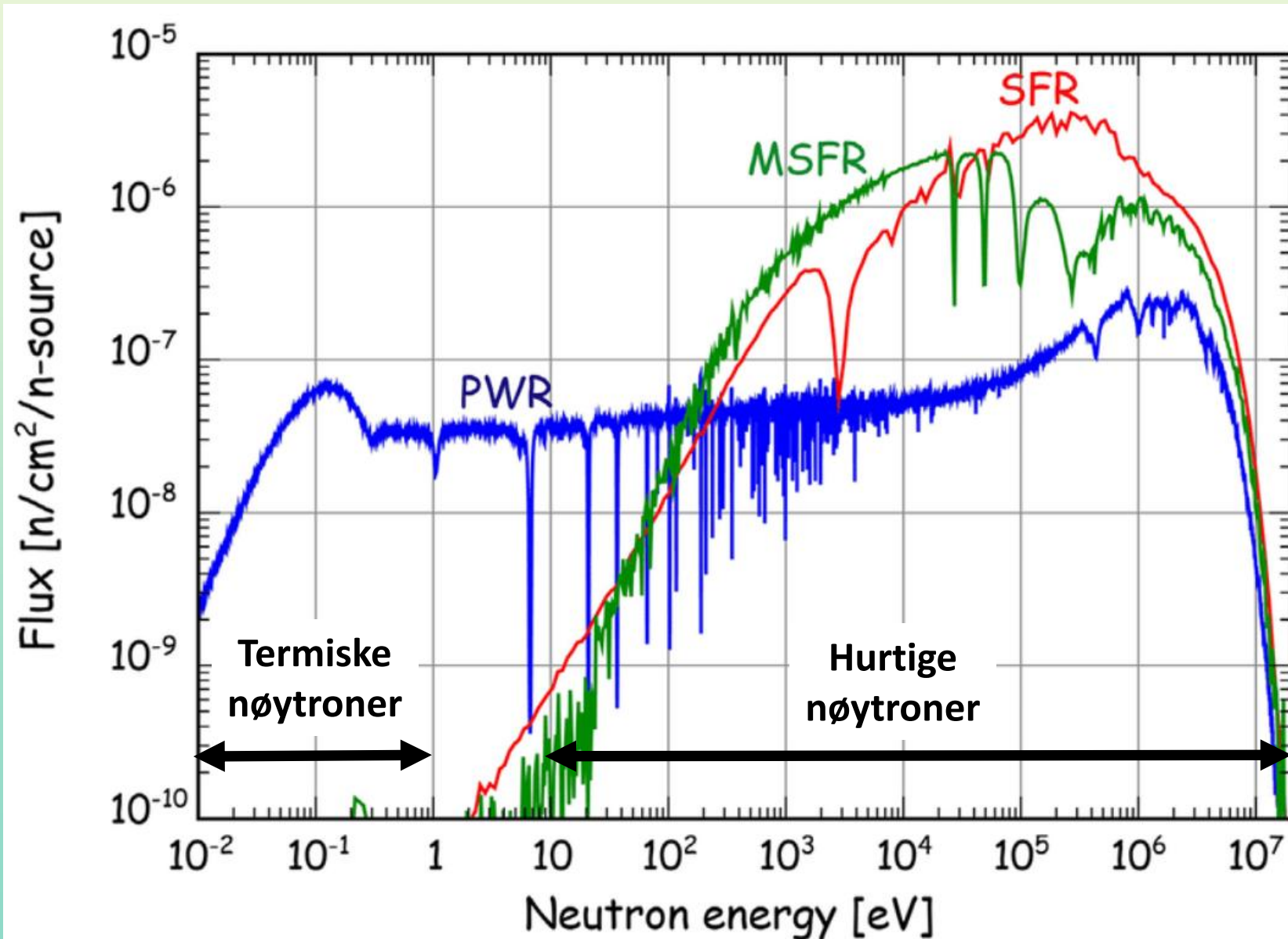
Fissile isotoper
U-233
U-235
Pu-239

Finnes i naturen
U-235 (0.7%)
U-238 (99.3%)
Th-232 (100%)

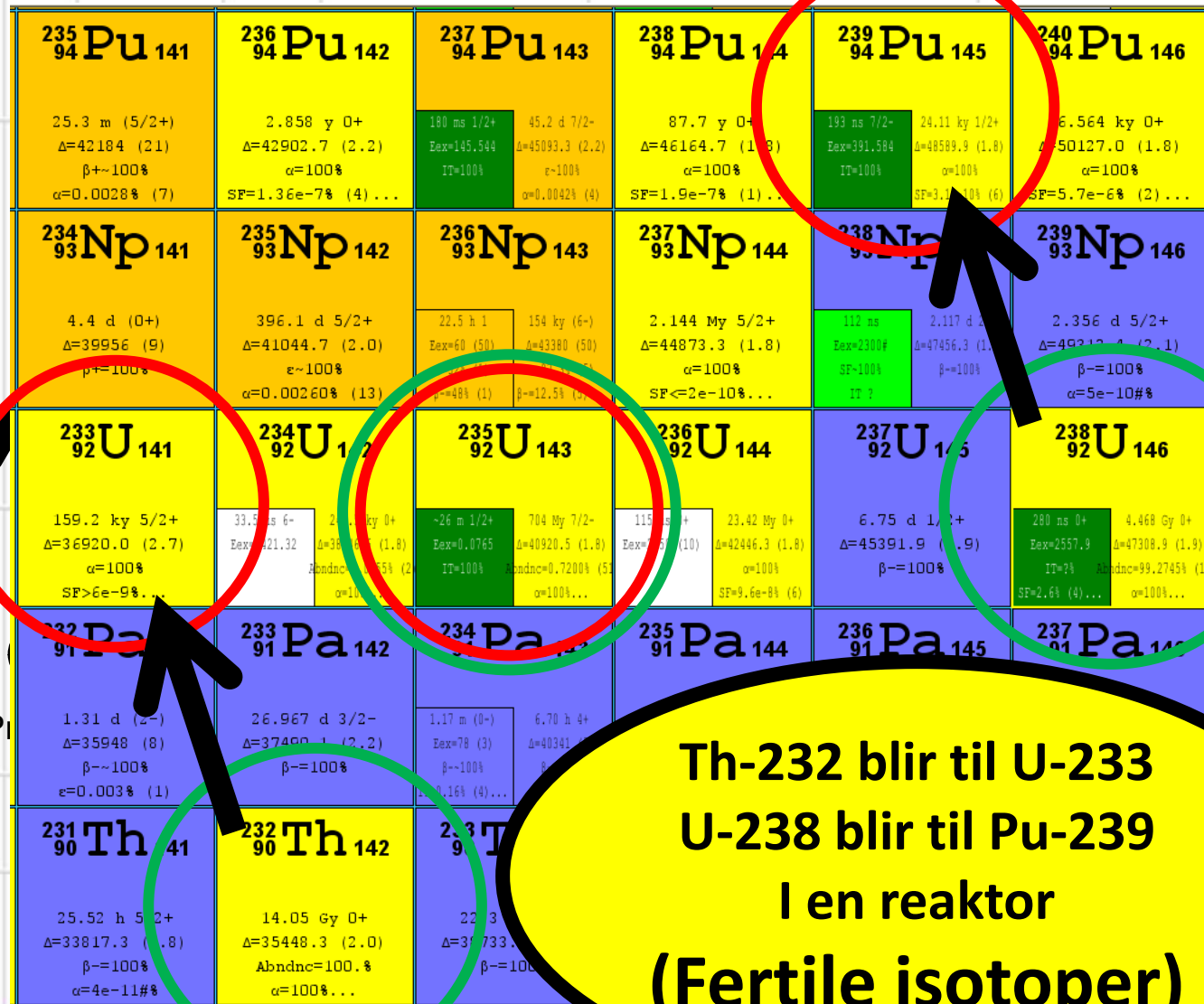
Termisk reaktor



Termisk reaktor vs hurtig reaktor



Nuklidekart



Fissile isotoper
U-233
U-235
Pu-239

Finnes i naturen
U-235 (0.7%)
U-238 (99.3%)
Th-232 (100%)

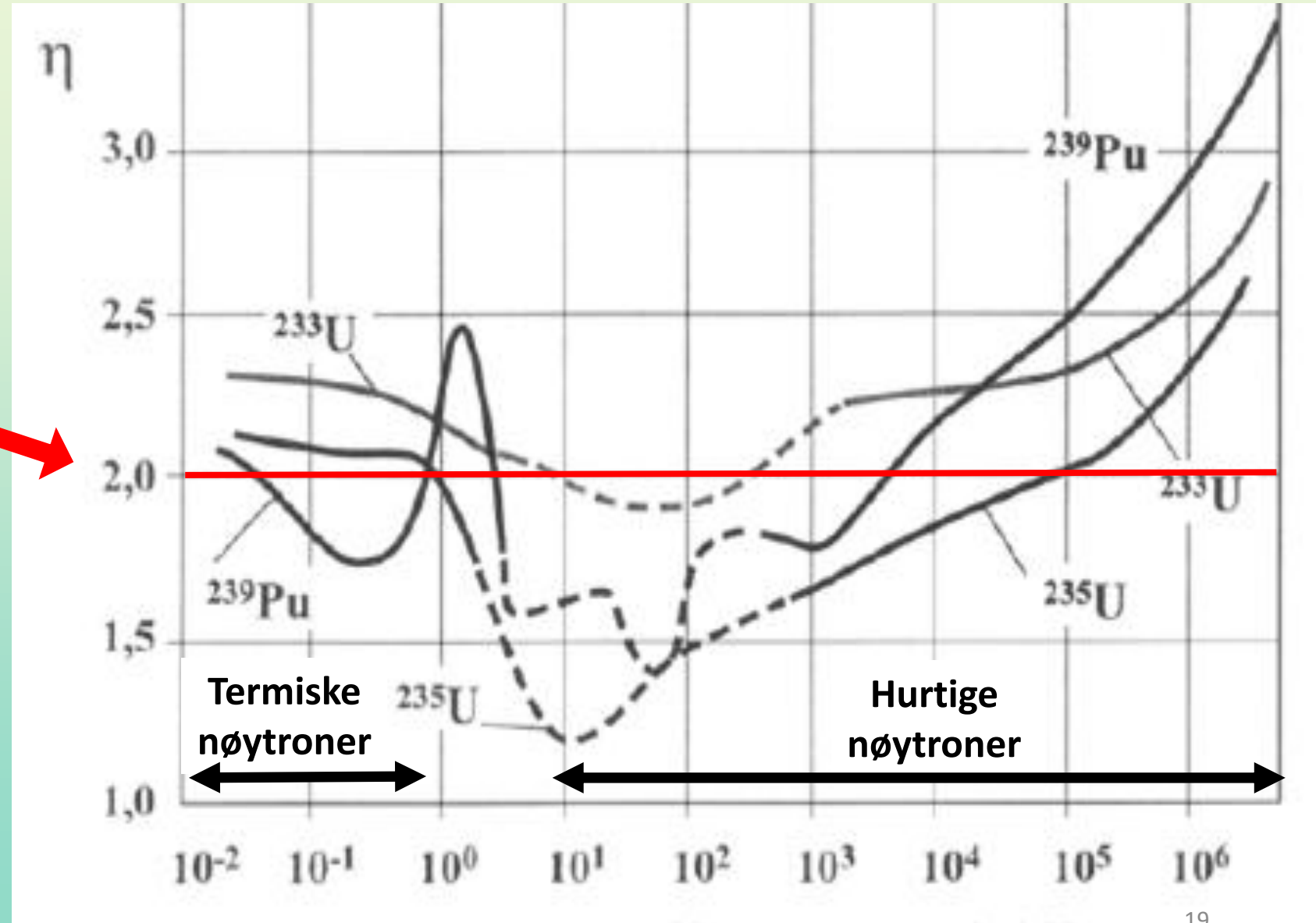
**Th-232 blir til U-233
U-238 blir til Pu-239
I en reaktor
(Fertile isotoper)**

Formeringsreaktor - Breeding

η : Antall nøytroner fra hver fisjon.

$\eta > 2$
for å få til
formeringsreaktor:

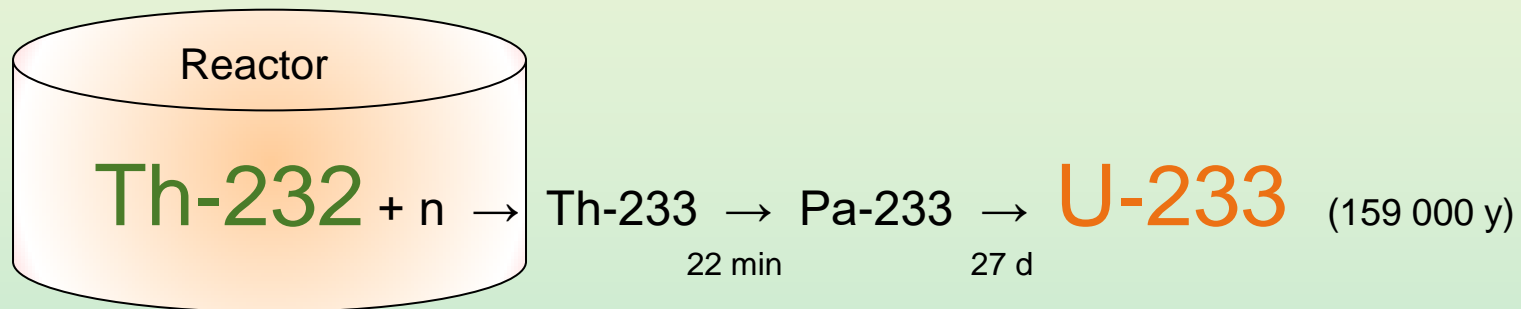
- ✓ Et nøytron for å vedlikeholde fisjonsreaksjonene
- ✓ Et nøytron for å lage et nytt fisjonerbart atom



Thorium-232 og uran-238 er **fertile** – ikke **fissile** som U-235

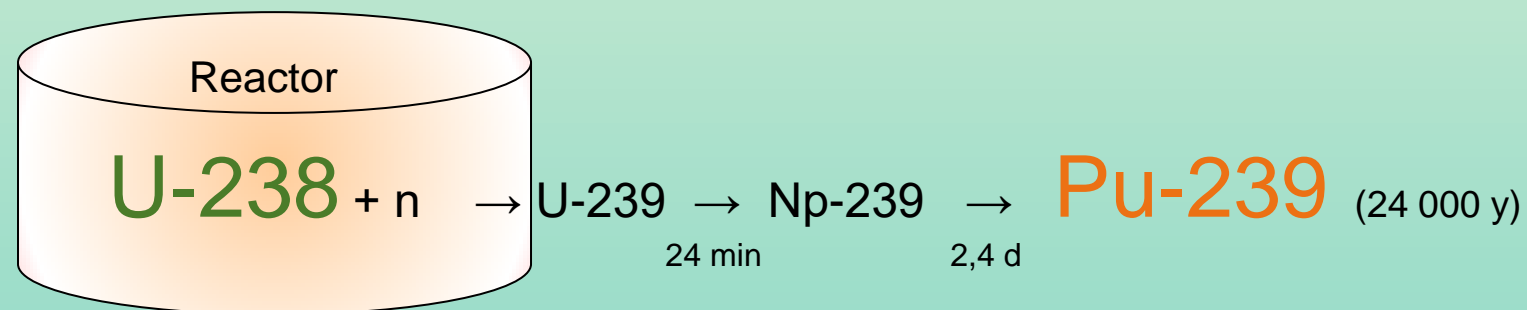
Thorium konverteres til fissil isotop :

TERMISK- eller
HURTIG reaktor

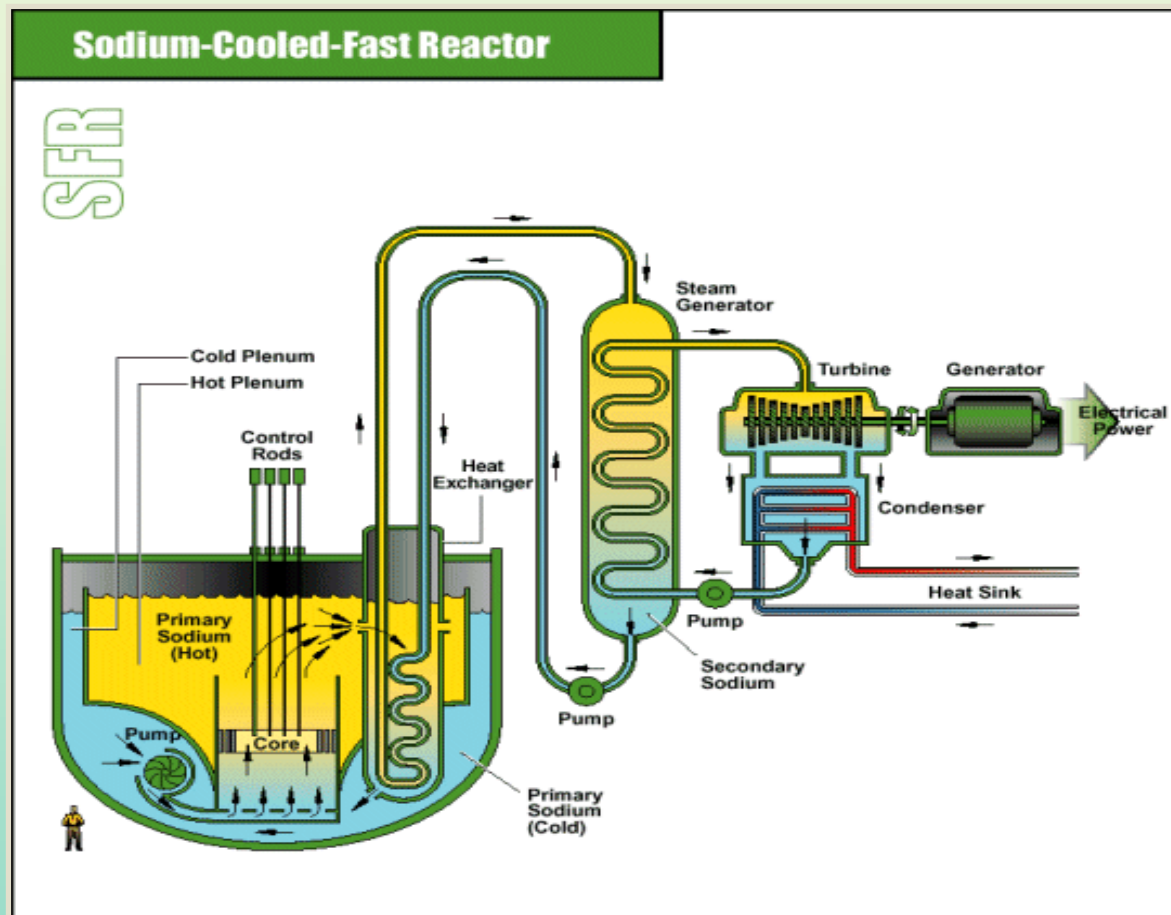


Uran 238 konverteres til fissil isotop:

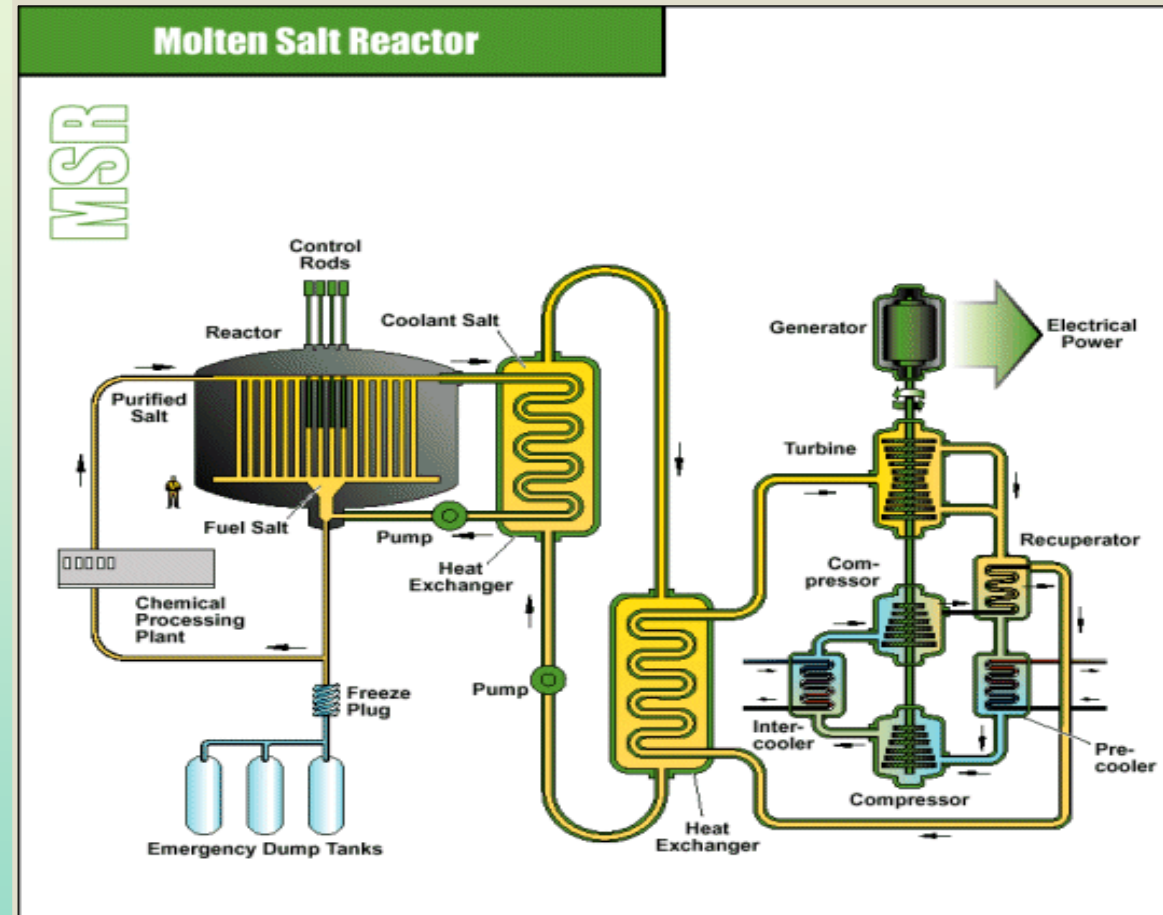
Må være
HURTIG reaktor



Generation IV reactors



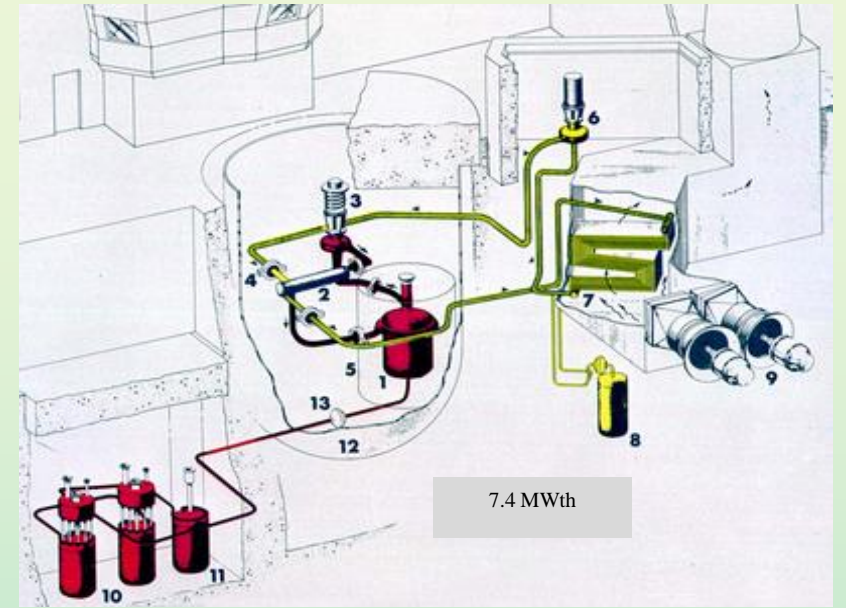
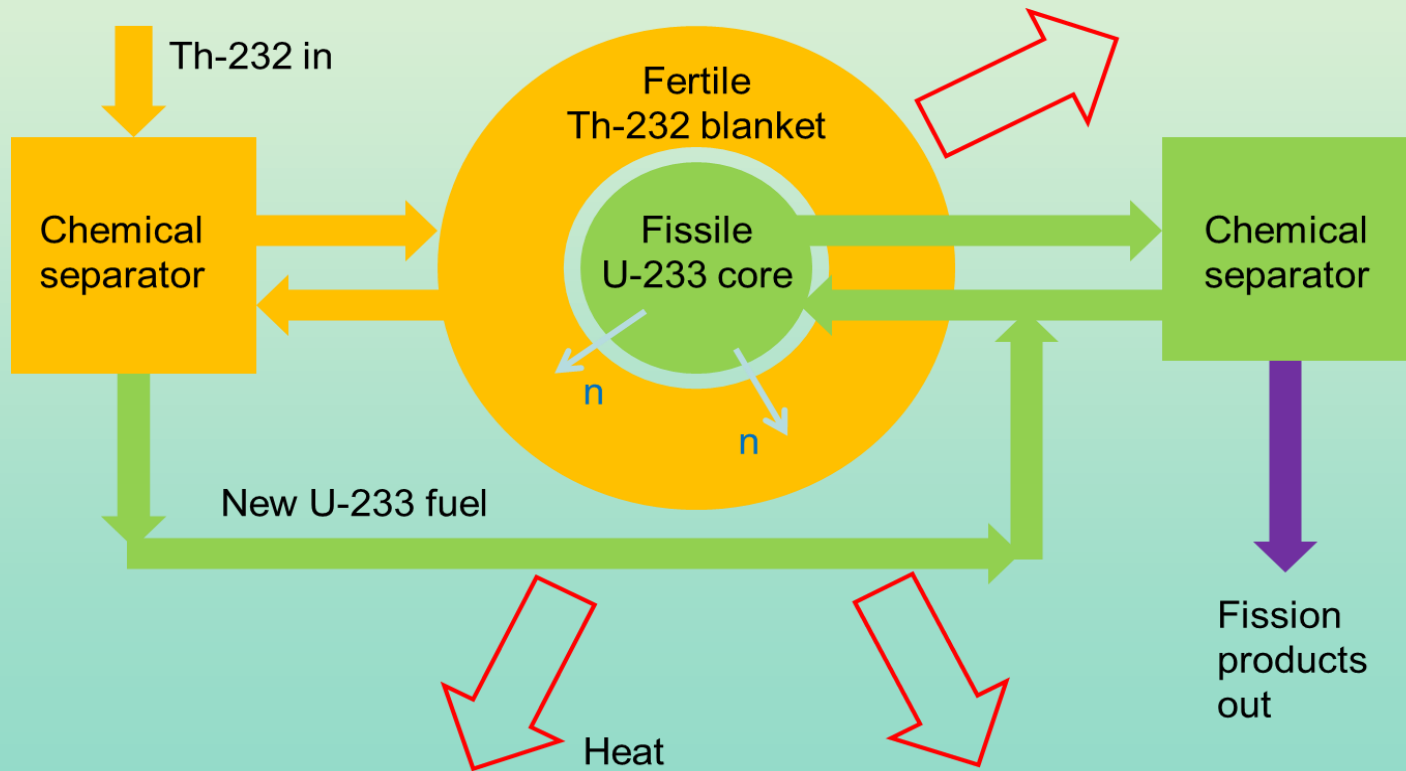
- Temp. 550 °C
- Low pressure
- Fast Breeder



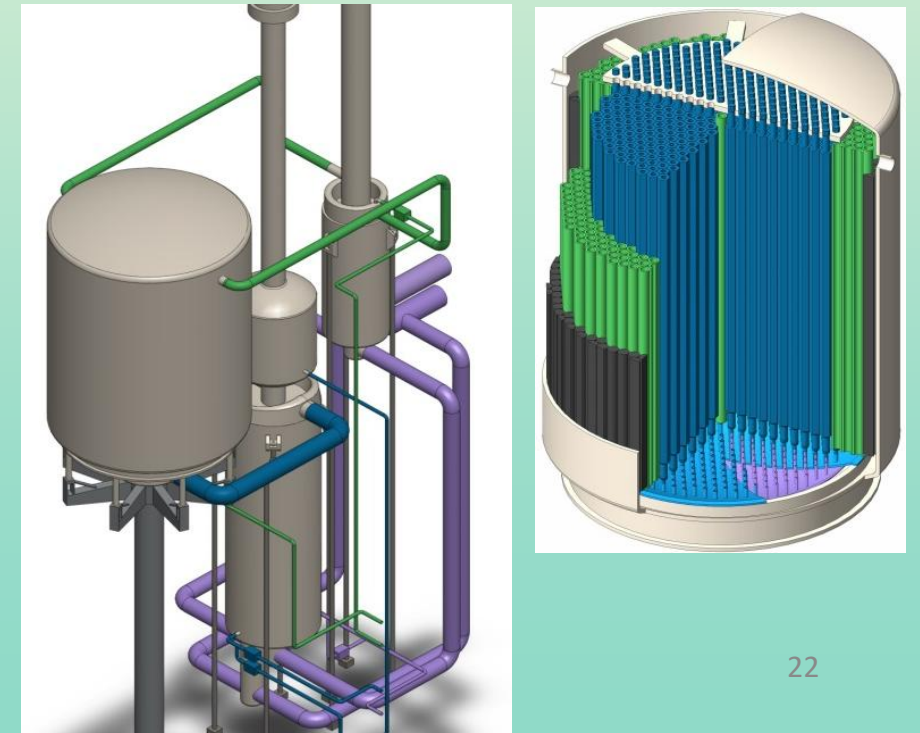
- Temp. 700 - 800 °C
- Low pressure
- Waste burner
- Thermal / epithermal
- Fuel : ^{232}Th / ^{233}U

Hvordan utnytte thorium?

En mulighet er saltsmeltereaktor.



Molten-Salt Reactor Experiment (1965-1969)



BN-800

Hurtig formeringsreaktor med natriumkjøling. 800 MWe. Startet i 2016.



Belojarsk kjernekraftverk er et russisk kjernekraftverk i Sverdlovsk Oblast (fylke) øst for Uralfjellene



CFR-600 (China Institute of Atomic Energy, China)

Ferdigstilles
i 2025 og gi
600 MWe

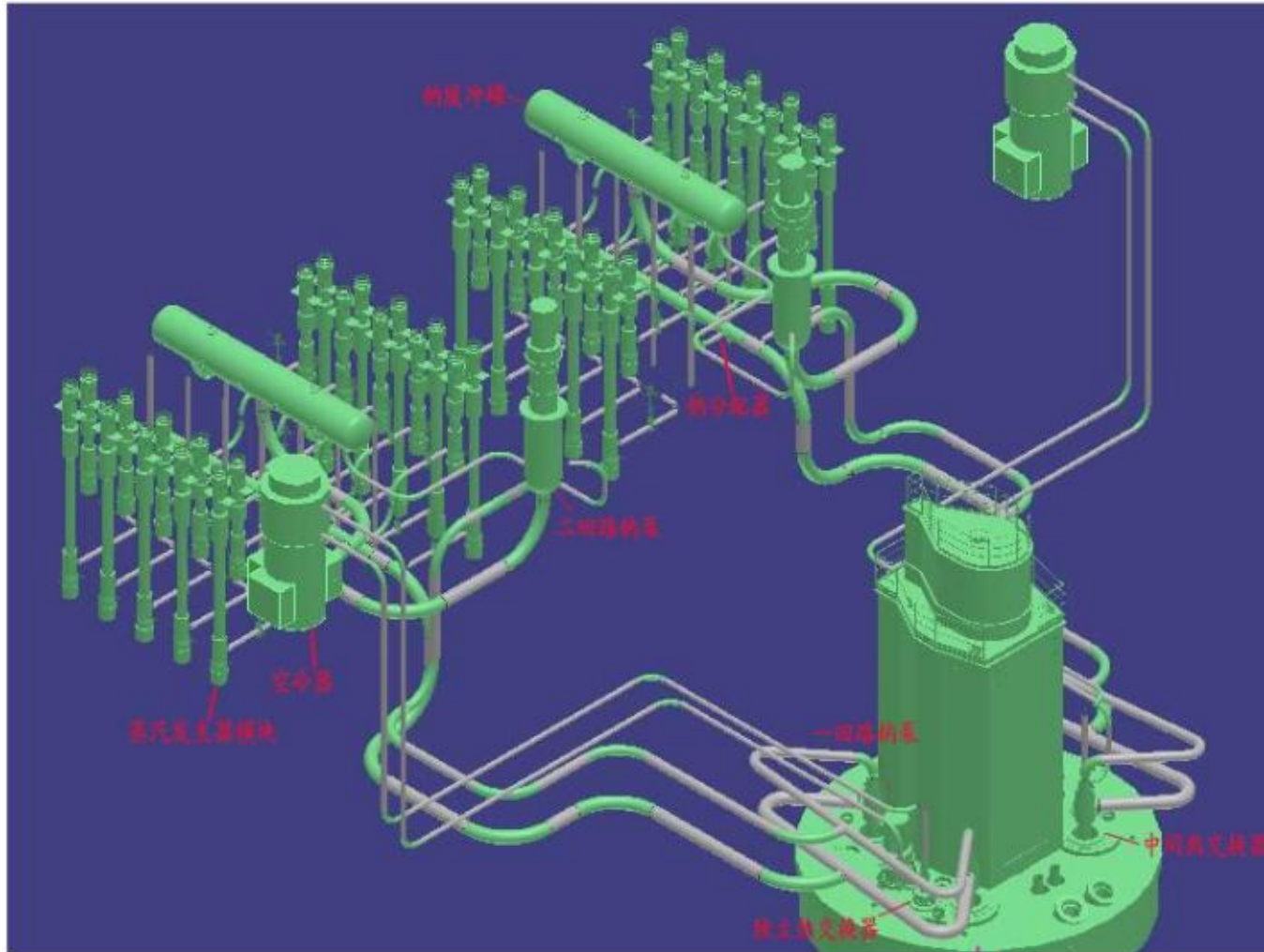
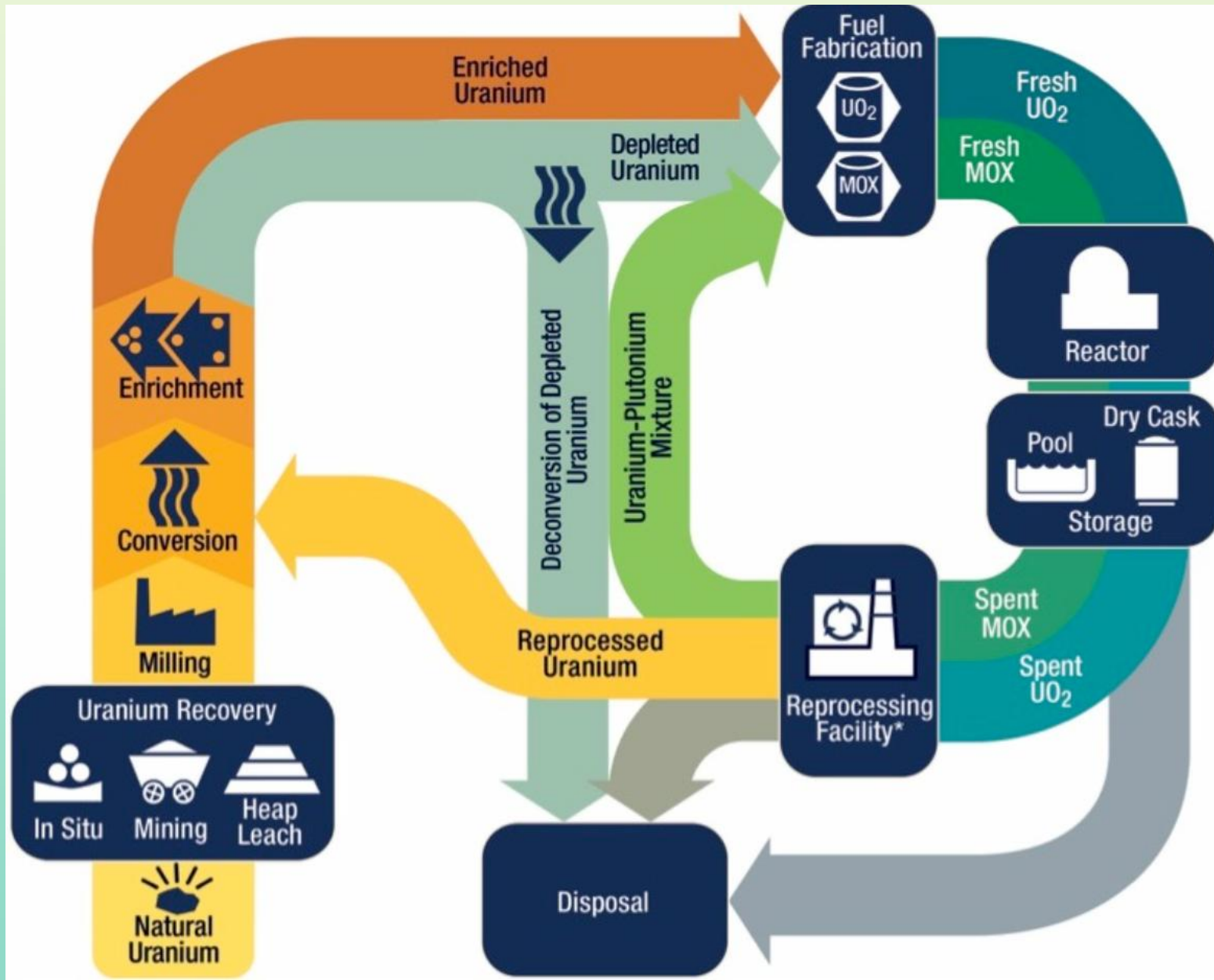
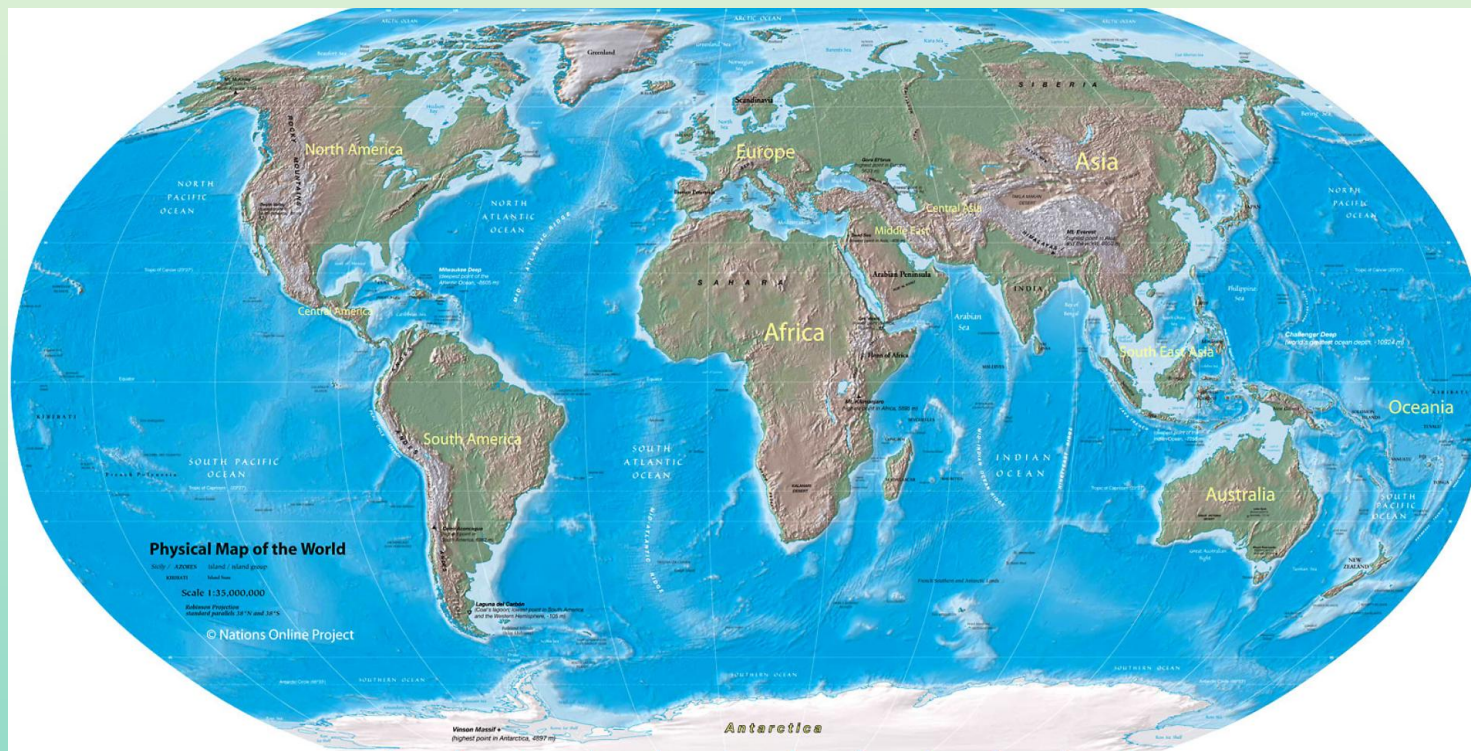


FIG. 5. Schematic representation of CFR-600.

Reprosessering av brensel.

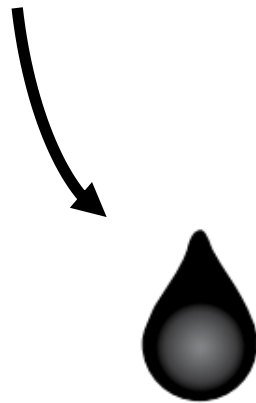


- Verdens kjente landbaserte uranforekomster : 8 000 000 tonn
- Verdens kjente thoriumforekomster : 6 355 000 tonn
- Uran i havet: 4 600 000 000 tonn

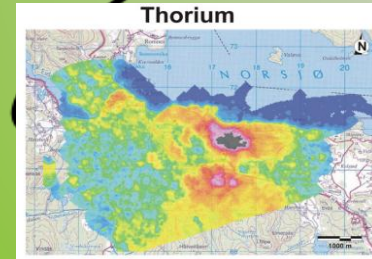


3,3 mikrogram pr liter (8.25 g i et OL-baseng) . Tilsvare ca 575 ganger kjente landforekomster

**Thorium i
Fensfeltet kan gi
minst 10 ,
muligens 100,
ganger mer energi
enn all samlet olje
og gass fra norsk
sokkel**



**Energi
Fen Thorium
Høyt anslag**



**Energi
Fen Thorium
Lavt anslag**



Thorium-En fremtidsresurs i
Oslofjordsregionen, nov.2012

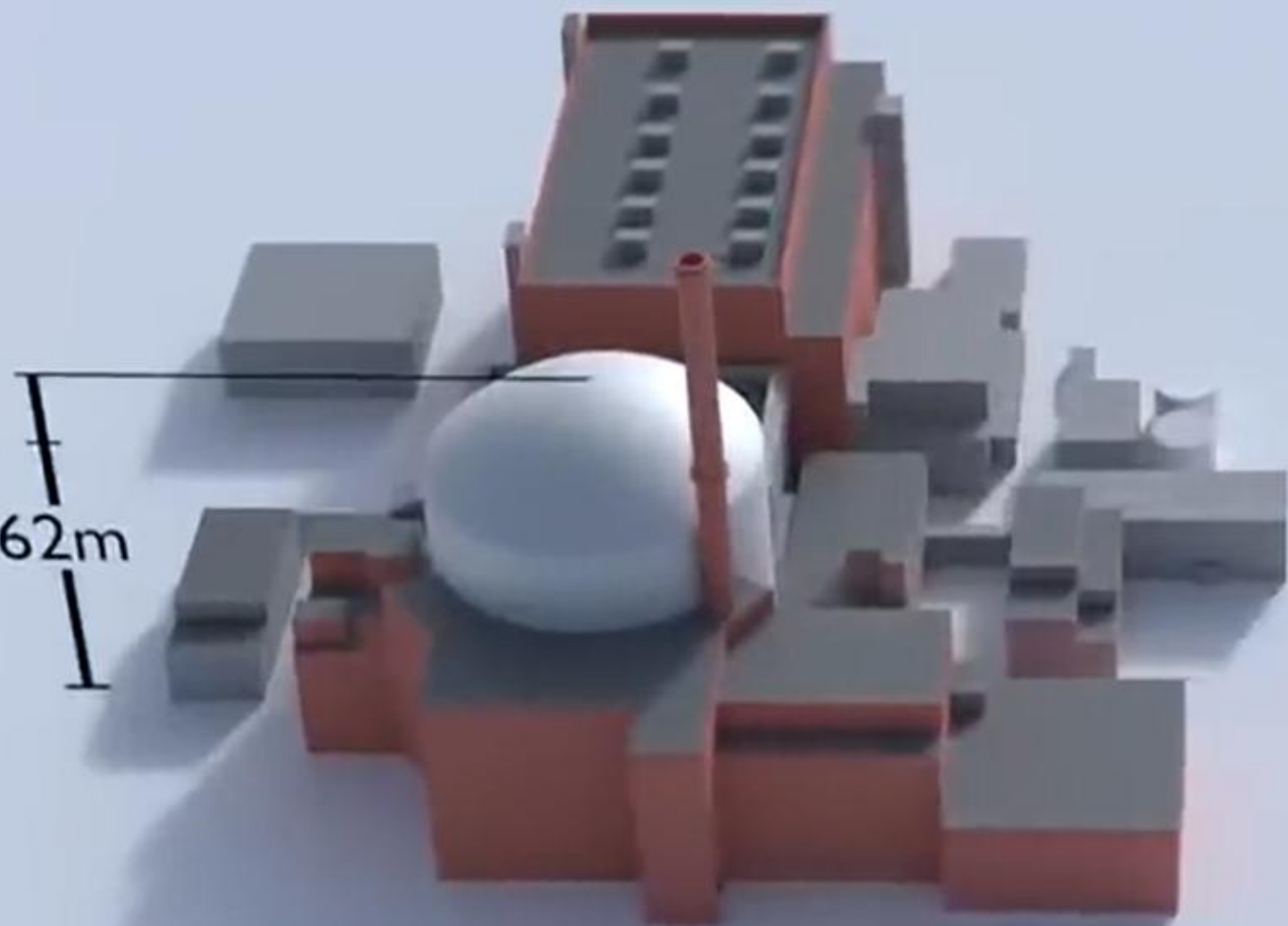
Vindkraft er resurskrevende mhp materialer, vedlikehold, transport, destruksjon mm.

For å bygge en 3,6 MW vindturbin (ca 0.01 TWh/år) trengs:

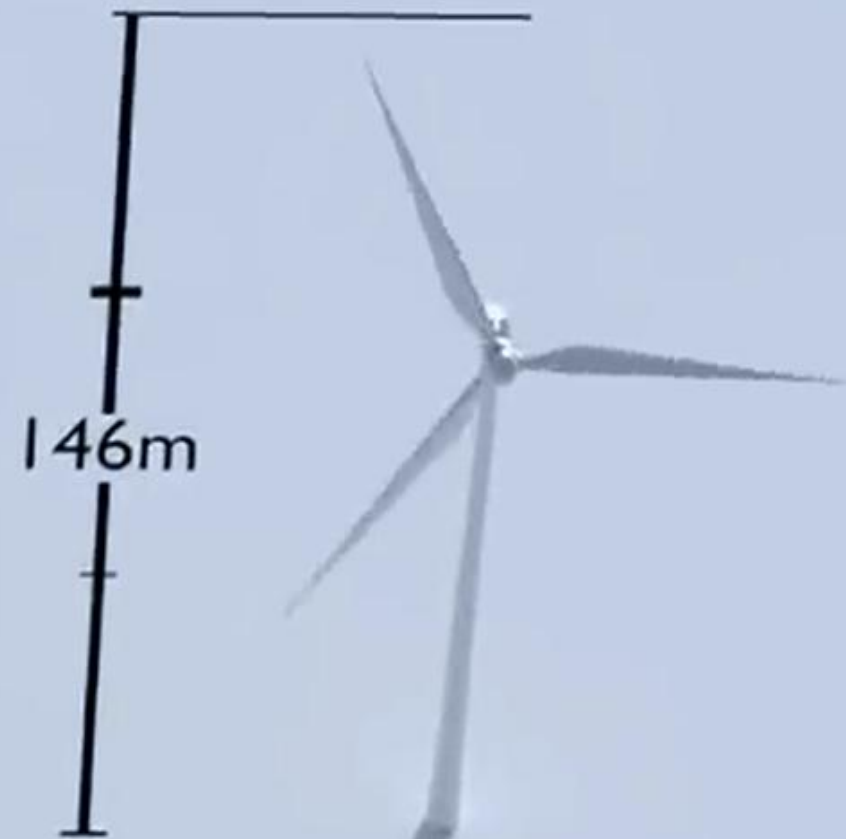
- 475 tonn stål
- 400 m³ betong
- 36 tonn kobber
- 2,6 tonn bly
- 1,3 tonn aluminium
- 400 kg nikkel
- 400 kg neodymium
- 80 kg dysprosium
- ½ fotballbane til oppstillingsplass
- 800 meter vei

1300 turbiner i Norge (status 2023) har krevd 1000 km vei i urørt natur på bekostning av dyre-, fugle-, planteliv og rekreasjonsområder for befolkning.

NVE



*Olkiluoto 3
1600 MW*

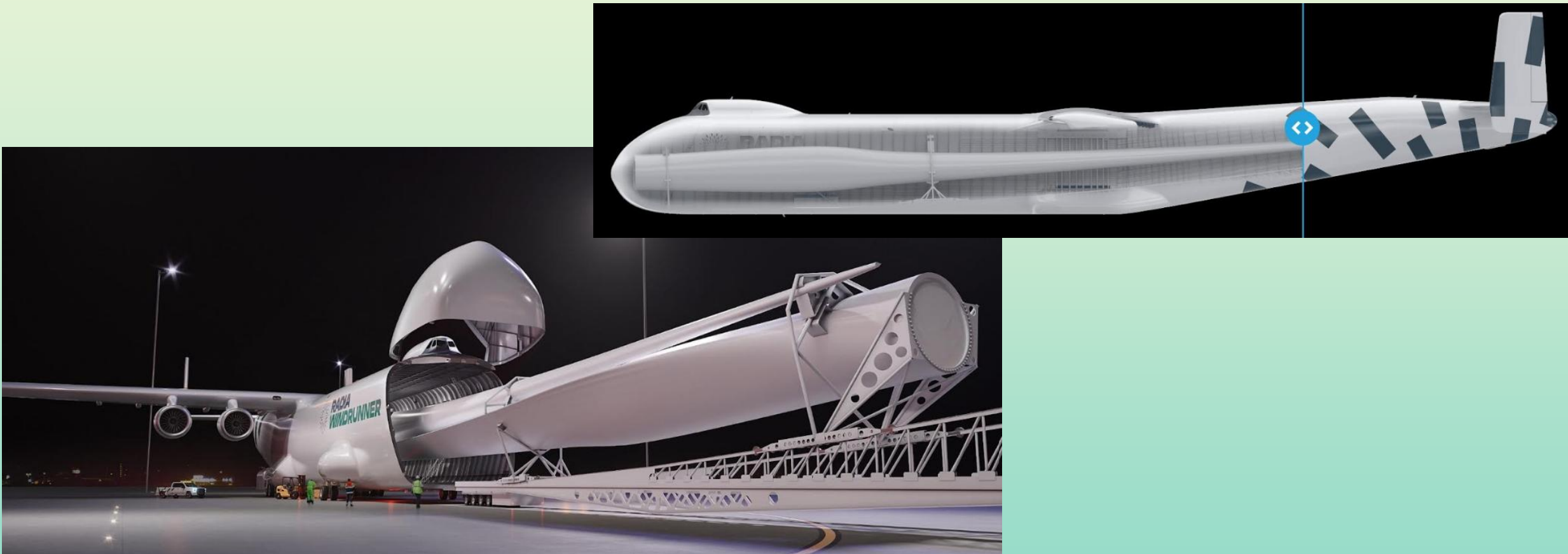


*Fosen Vind
4,2 MW*

Vindkraft er resurskrevende mhp materialer, vedlikehold, transport, destruksjon mm.



Vindkraft er resurskrevende mhp materialer, vedlikehold, transport, destruksjon mm.

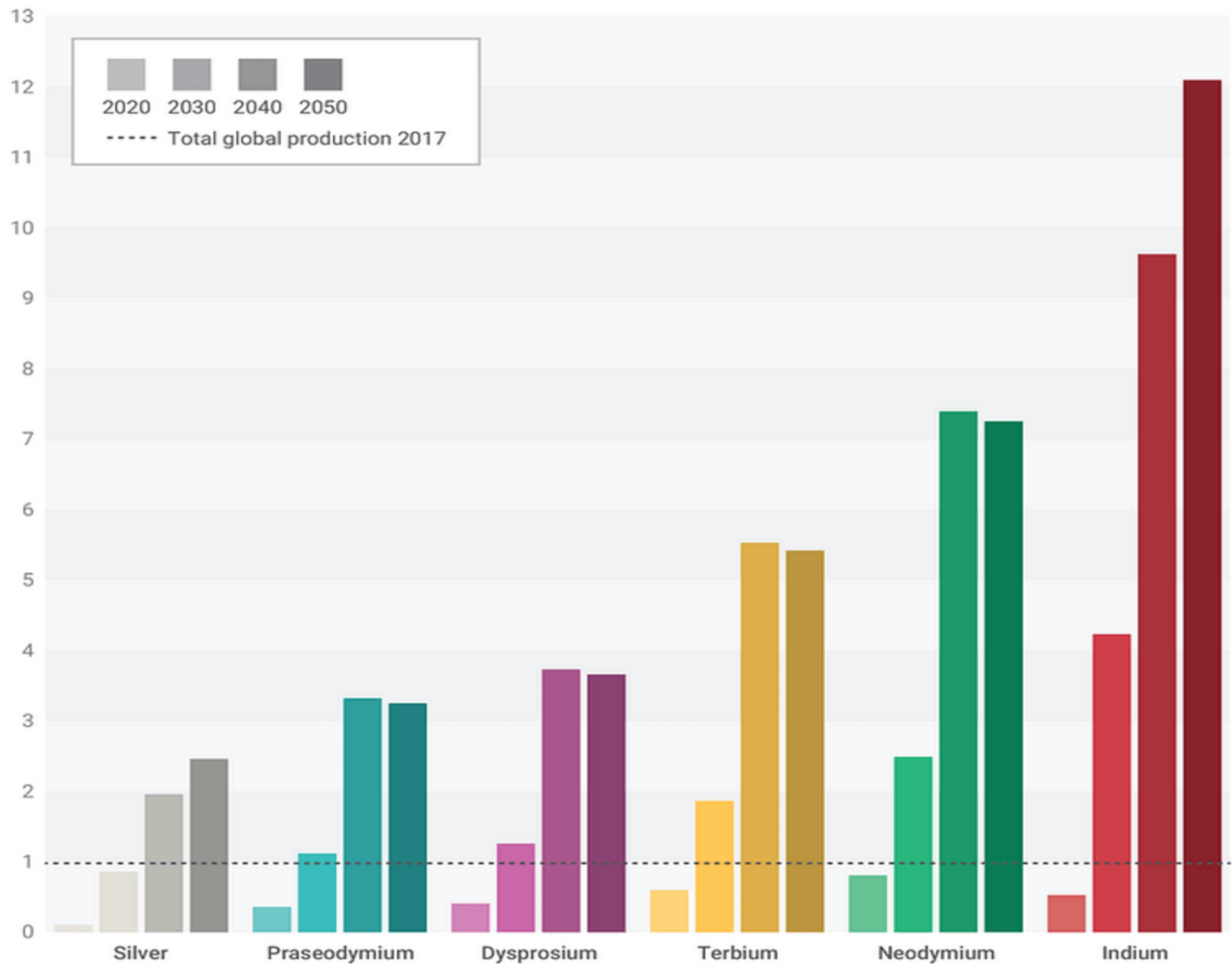


Deponering av vindturbin-blader

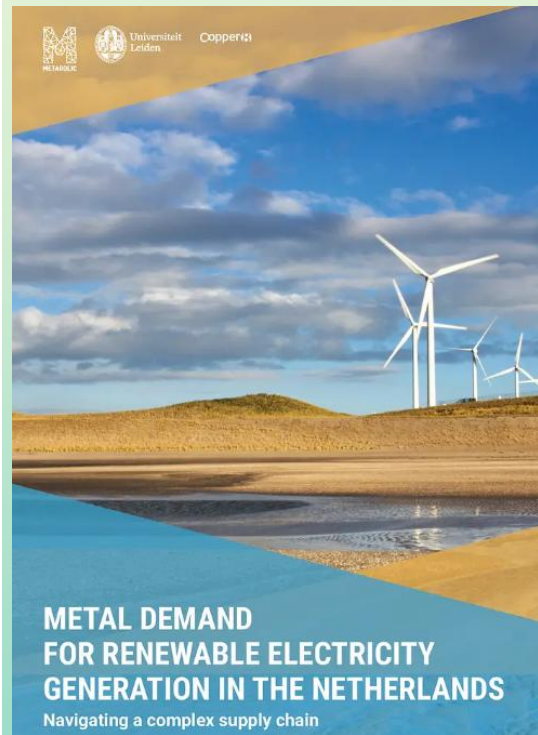




X TIMES CURRENT ANNUAL PRODUCTION 2017



“At Metabolic, we strive to transition the global economy to a fundamentally sustainable state.”



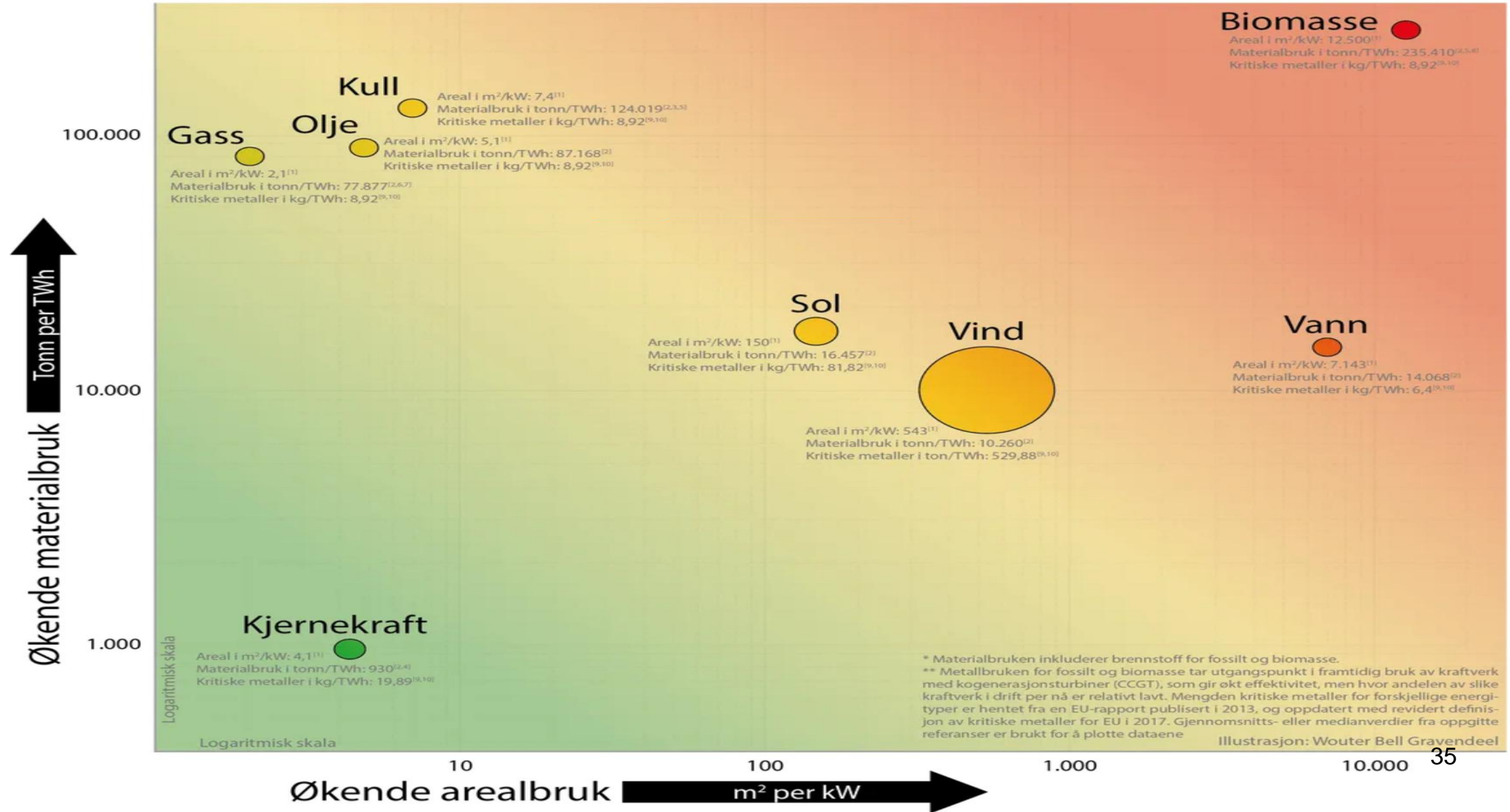
info@metabolic.nl

+31 203 69 09 77

Gedempt Hamerkanaal 29
1021 KL Amsterdam
Netherlands

Areal- og materialbruk per energikilde*

Størrelsen på sirklene viser forbruk av kritiske metaller**



* Materialbruken inkluderer brennstoff for fossilt og biomasse.
 ** Metallbruken for fossilt og biomasse tar utgangspunkt i framtidig bruk av kraftverk med kogenerasjonsturbiner (CCGT), som gir økt effektivitet, men hvor andelen av slike kraftverk i drift per nå er relativt lavt. Mengden kritiske metaller for forskjellige energityper er hentet fra en EU-rapport publisert i 2013, og oppdatert med revidert definisjon av kritiske metaller for EU i 2017. Gjennomsnitts- eller medianverdier fra oppgitte referanser er brukt for å plote dataene

Illustrasjon: Wouter Bell Gravendeel

Utvinning av litium truer tilgang på rent vann

I «litiumtrekanten» – en region som spenner over Argentina, Chile og Bolivia – sitter urfolksgrupper på metall verdt anslagsvis tusenvis av milliarder dollar.

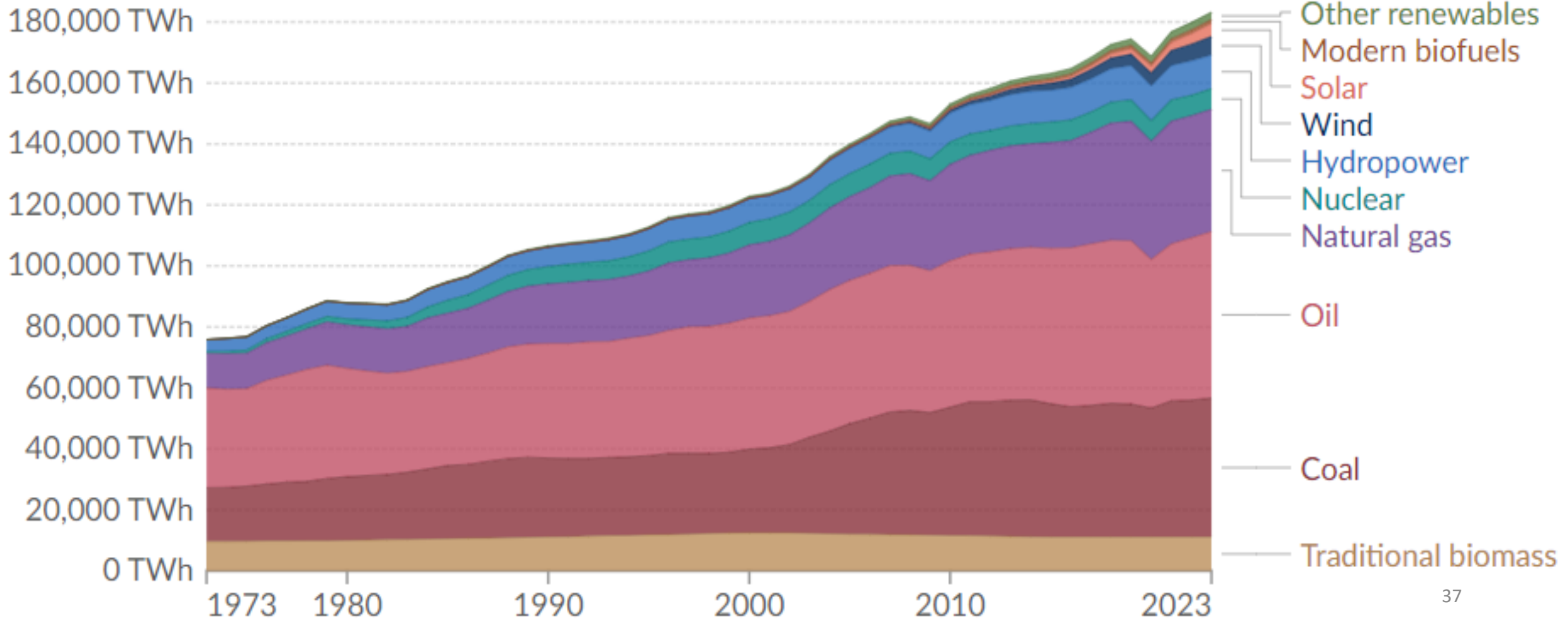


Global primary energy consumption by source

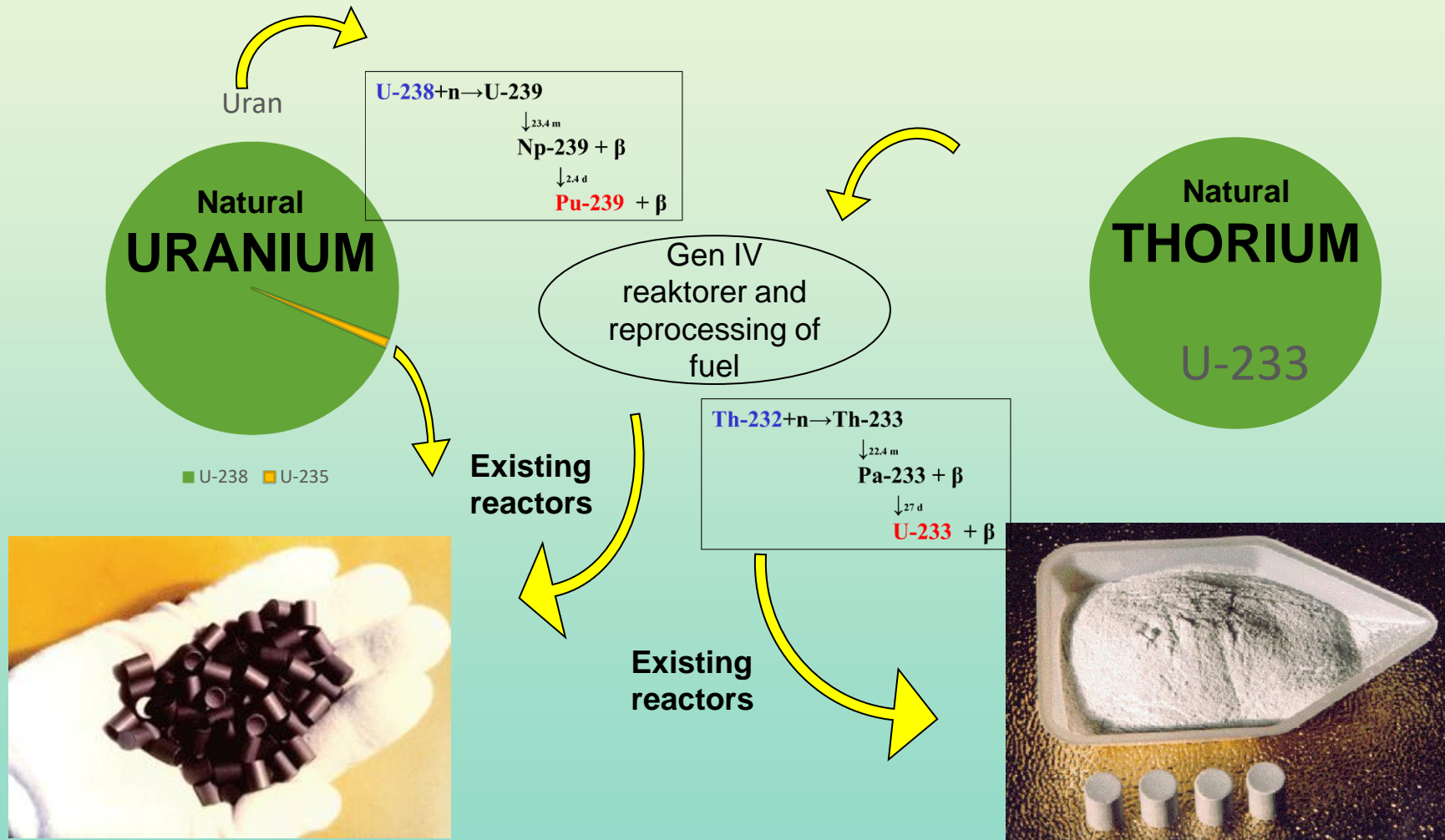
Primary energy is based on the substitution method and measured in terawatt-hours.

Table Chart

Settings

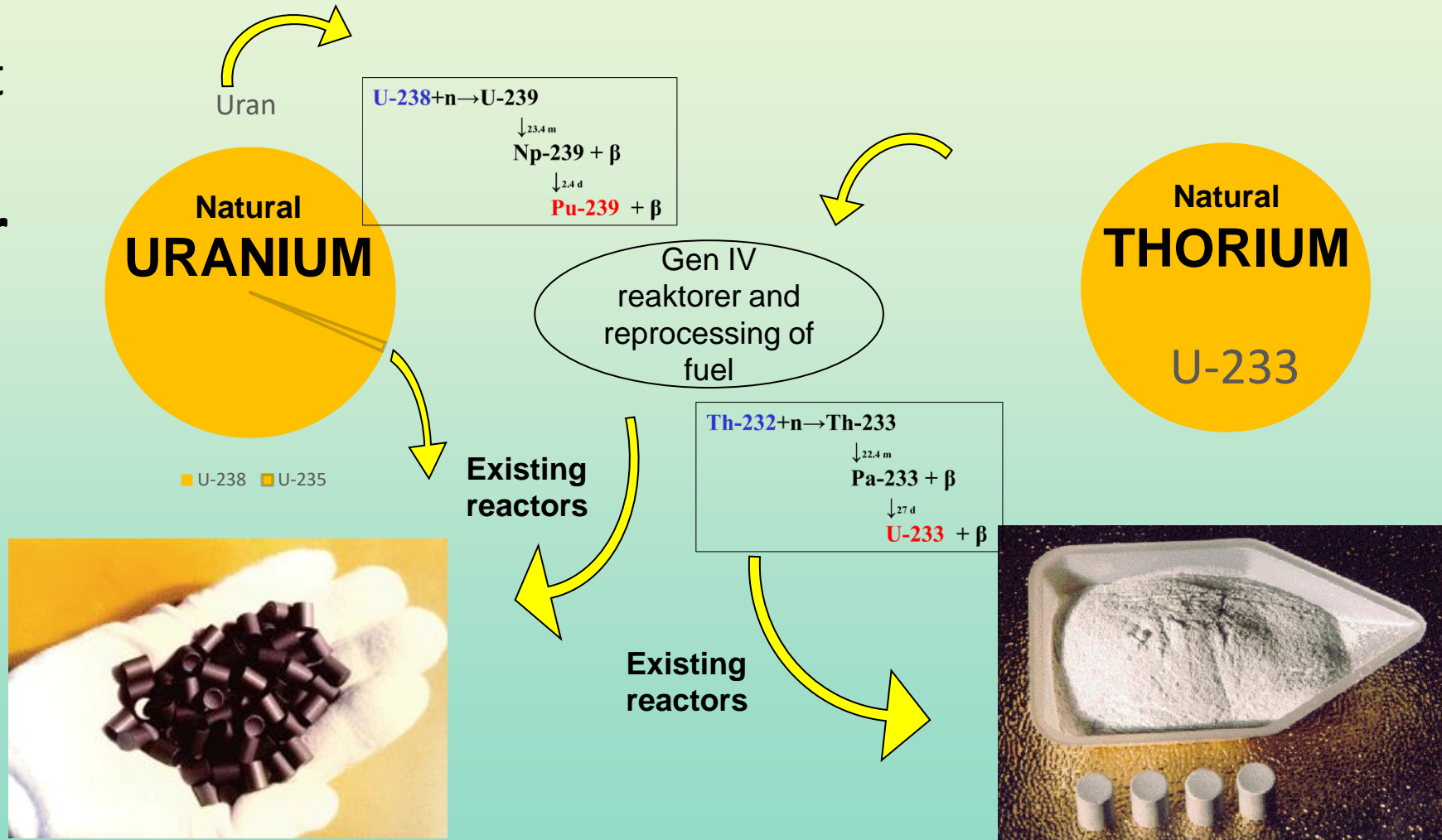


Formeringsreaktor (Breeder)



Formeringsreaktor (Breeder)

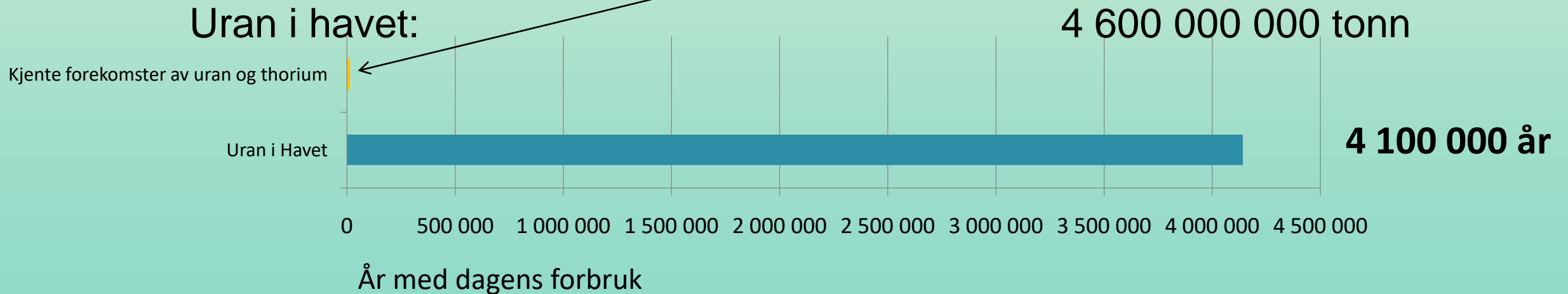
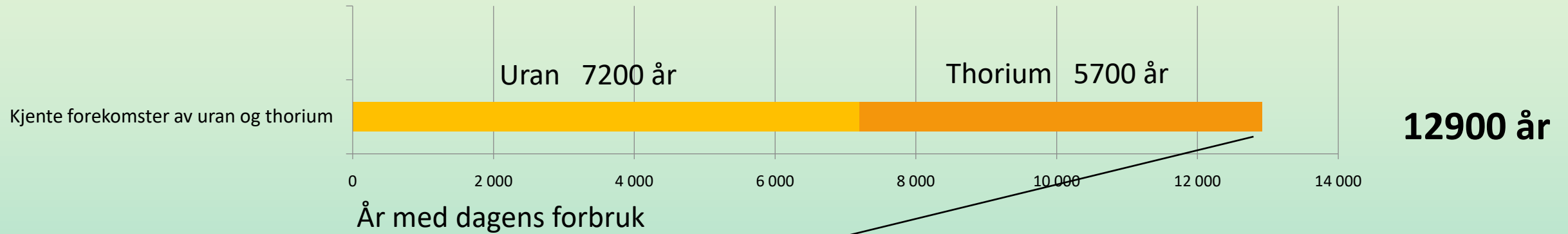
Vi kan ta ut
minst
60 ganger
så mye
energi



Hvor lenge kan vi kjøre formeringsreaktorer ?

Verdens kjente landbaserte uranforekomster : 8 000 000 tonn

Verdens kjente thoriumforekomster : 6 355 000 tonn



Kjernekraft

Dette kan godt være en god bok, men jeg har to problemer med kjernekraft .



... jeg kan absolutt ingenting om det



...og jeg stoler ikke på de som vet



Takk for oppmerksomheten

